

مطالعات کانی‌سازی با استفاده از میکروسکوپ الکترونی و تعیین کانه‌های فرعی در کانسار چندفلزی (سرب - مس - روی - نقره) پیر حاجات، شمال باختر طبس

بهنام یوسفی^۱، محمد معانی جو^{۲*}، ابراهیم طالع فاضل^۳ و مسلم اسدی^۴

۱- دانشجوی کارشناسی ارشد، گروه زمین‌شناسی، دانشکده علوم‌پایه، دانشگاه بوعالی سینا، همدان، ایران

۲- استاد گروه زمین‌شناسی، دانشکده علوم‌پایه، دانشگاه بوعالی سینا، همدان، ایران

۳- استادیار گروه زمین‌شناسی، دانشکده علوم‌پایه، دانشگاه بوعالی سینا، همدان، ایران

۴- دانشآموخته کارشناسی ارشد، گروه زمین‌شناسی، دانشکده علوم‌پایه، دانشگاه پیر جند، خراسان جنوبی، ایران

* mohammad@basu.ac.ir

نوع مقاله: پژوهشی

دریافت: ۱۴۰۲/۱/۸ پذیرش: ۱۴۰۲/۴/۶

چکیده

کانسار پیر حاجات در فاصله ۵ کیلومتری شمال خاور روزتای پیر حاجات و ۱۲۰ کیلومتری شمال باختر طبس در رشته کوه‌های پیر حاجات واقع شده‌است. این کانسار در خرد قاره ایران مرکزی و ایالت فلزی‌ای طبس- پشت‌بادام در بخش ازبک‌کوه- عشق‌آباد قرار دارد. زمین‌شناسی منطقه شامل واحد سنگی کربناته (دولومیت و آهک دولومیتی) سازند شتری متعلق به تریاس میانی و واحد سنگی ماسه‌سنگ سازند شمشک متعلق به ژوراسیک‌زیرین می‌باشد. واحد ماسه‌سنگی با ترکیب لیت‌آرنیت براساس نمودار K_2O/Na_2O در برابر SiO_2/Al_2O_3 در موقعیت ساختاری حاشیه غیرفعال قاره‌ای قرار می‌گیرد. کانی‌سازی در این کانسار به شدت تحت تأثیر فرآیندهای تکتونیکی بوده و در این میان، گسل اصلی با نام FM^۴ از نوع امتدادلغز باروند خاوری- باختری و شبیه ۷۰-۸۰ درجه به سمت جنوب از همه مهم‌تر است. کانی‌سازی هیپوژن در دو مرحله صورت گرفته و شامل سرب طبیعی، گالن، پیریت، تتراهدریت، کالکوپیریت و اسفالریت است و کانی‌سازی سوبرزن شامل اکسید سرب (پلاتنریت، ماسیکوت)، لیتاریت، آنگلزیت، کوپریت، مالاکیت، آزوریت، کریزوکلا، کوولیت، تنوریت، گوتیت، سروزیت است. کانی‌های باطله اغلب شامل باریت، سیلیس، کلسیت و دولومیت می‌باشد. فلز اصلی قابل استخراج در این کانسار سرب است که بصورت سرب طبیعی، پلاتنریت (سرب اکسیدی) و به مقدار کمتر سرب‌سولفیدی (گالن) می‌باشد که براساس نتایج تجزیه دستگاهی ICP-OES (تعداد ۱۳ نمونه)، فلز سرب دارای عیار متوسط ۳٪ و بیشترین عیار نقره در این کانسار ppm ۲۷ است که عیار نسبتاً بالای فلز سرب وجود نقره، دورنمای اقتصادی این کانسار را امیدبخش نشان می‌دهد. همچنین فلز روی، دارای عیار میانگین ppm ۳۷۲ است (تعداد ۱۳ نمونه). فلز مس در بعضی نمونه‌ها نیز دارای عیاری بیشتر از ۵٪ است. بر پایه مطالعات و تجزیه‌های انجام شده، فاز کانی‌سازی غالب در این کانسار فاز اکسیدی می‌باشد که نکته حائز اهمیت در امر فرآوری است. از ویژگی‌های بارز کانسار وجود منطقه‌بندی در کانی‌سازی (تشکیل کانی‌های مس‌دار در پایین‌ترین تراز، سپس کانی‌های سرب‌دار و در سطح کانی باریت) بهصورت عمقی و جانبی است.

واژه‌های کلیدی: سرب طبیعی، اکسید سرب، منطقه‌بندی، پلی‌متال، پیر حاجات، ایالت فلزی‌ای، بلوک‌طبس، زون ایران مرکزی

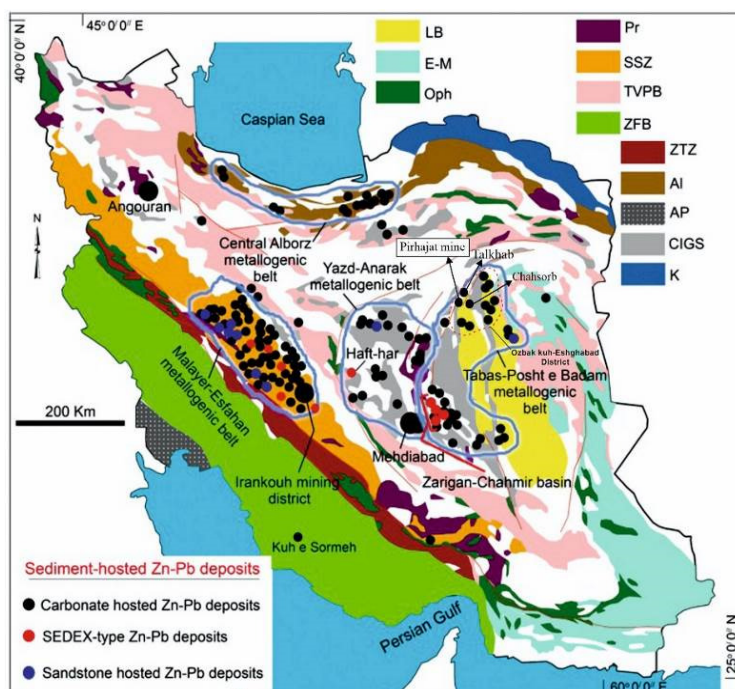
پیشگفتار

بلوک می‌باشد و از خاور به بلوک لوت، از شمال به رشته کوه‌های البرز و از جنوب به منطقه ستنندج- سیرجان محدود می‌شود. بنا به نظر اشتوكلین (۱۹۶۸) چین خوردگی اصلی ایران مرکزی به فاز کوهزاد آلبی مربوط است بهطوری که پنج فاز اصلی چین خوردگی آلب در تریاس- لیاس، اوایل کرتاسه، اوایل، اواسط و اواخر دوران سنوزئیک در این منطقه مشاهده شده‌است. روند عمومی چین خوردگی‌ها یکنواخت نیست، بلکه در شمال روند خاوری- باختری دارد، در خاور موازات بلوک لوت (شمالی

کانسار پیر حاجات در فاصله ۵ کیلومتری شمال خاور روزتای پیر حاجات و ۱۲۰ کیلومتری شمال باختر طبس در بین مختصات $۳۱^{\circ}۵۶'۱۲''$ و $۳۱^{\circ}۳۷'۹۲''$ طول خاوری و $۳۴^{\circ}۰'۷۵۳'۷۶''$ و $۳۴^{\circ}۰'۱۹'۶۸''$ عرض شمالی در رشته کوه‌های پیر حاجات واقع شده‌است. این کانسار در تقسیمات ساختاری خرد قاره ایران مرکزی در شمال بلوک طبس و در ایالت فلزی‌ای طبس پشت‌بادام در بخش ازبک‌کوه- عشق‌آباد قرار دارد (قربانی، ۲۰۱۳). محدوده ایران مرکزی به شکل مثلثی است که شامل ۵

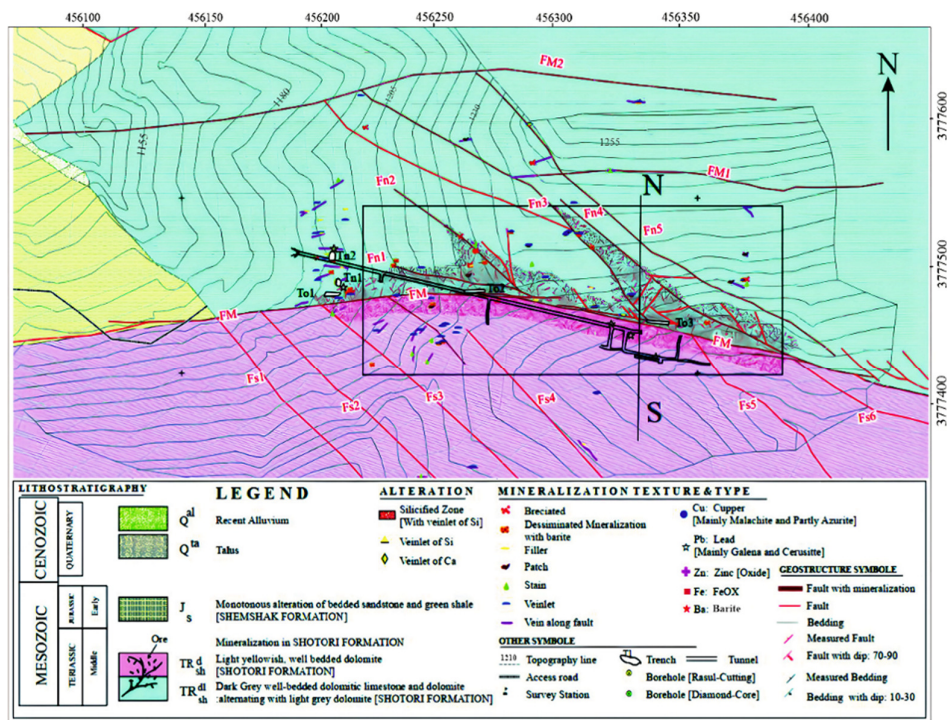
و ۱۲۳۸ متری از سطح دریا قرار دارد. کانی سازی اصلی در این کانسسار سرب طبیعی، سرب اکسیدی و گالن می باشد. این منطقه در سال ۱۳۹۳ توسط شرکتمعدنی رسام ثبت و مورد اکتشاف تفصیلی قرار گرفته است. بررسی های انجام شده نشان داد که علاوه بر بخش هایی با عیار متوسط که از فعالیت های قبلی باقی مانده است، رگه های کانه دار دیگری در قسمت هایی که حفريات قدیمی بر روی آن ها انجام نشده است، نیز وجود دارد که دورنمای این محدوده را بسیار امیدبخش می کند. سلطانی و همکاران (۱۳۹۵) سرشتی های کانی شناسی، ساختی، بافتی و ژئوشیمیابی معدن چاه سرب، طبس را مورد مطالعه قرار داده اند. هدف از این پژوهش بررسی دقیق کانی شناسی، مراحل کانی سازی، توالی پارژنتیک، لیتوژئوشیمی و هم چنین بررسی گسترش کانی سازی به صورت عمقی و جانی در این کانسسار می باشد.

- جنوبی) و در جنوب باختری به موازات پهنه سنتندج- سیرجان (شمال باختر - شمال خاور) است. محدوده ازبک‌کوه- عشق‌آباد از نظر قابلیت کانی‌سازی سرب و روی از پتانسیل بالایی برخوردار است. اغلب معادن و نشانه‌های سرب و روی در شمال، جنوب و جنوب‌باختر عشق‌آباد پراکنده‌اند. مهم‌ترین معادن و نشانه‌های معادنی سرب و روی در این منطقه شامل معادن و یا نشانه‌های چاه‌سرب، کوه‌ماری، اوشك، گردو، ازبک‌کوه، شوره، قلعه، رقه، سیب‌زار، قوچ‌کوهی، کالار (پیر حاجات)، تلخ‌آب، دق سراجیو پشت کله، گوش‌کمر، نیگنان، بیدو، کوپرو، قواستو، گوه‌سیاه (قرشیرعلی) و کوه‌سیاه (خرماییو) هستند که سنگ‌میزان این کانسارها اغلب مربوط به دوران مژوزوئیک است (سلطانی و همکاران، ۱۳۹۵). کانسار پیر حاجات، یک معدن زیرسطحی شامل ۴ تونل اصلی می‌باشد که در ترازهای ۱۲۰۵، ۱۲۲۵، ۱۲۳۲، ۱۲۴۵ و ۱۲۵۰ متری قرار دارد.



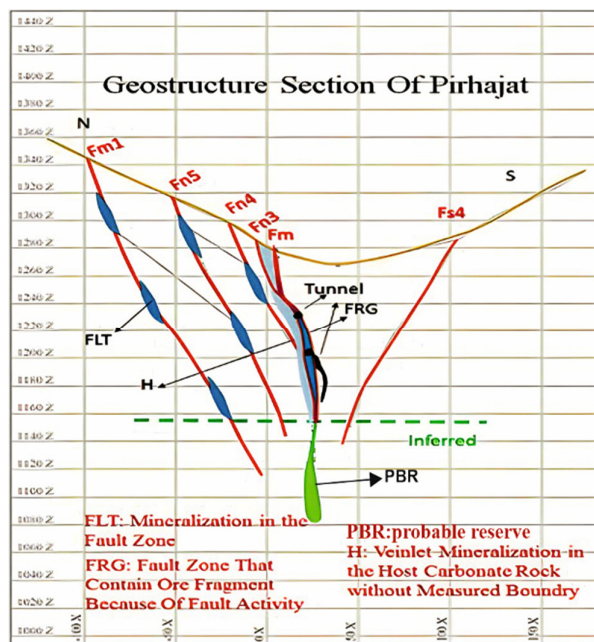
شكل ۱. نقشه توزیع کانسارهای سرب و روی با میزبان رسوی و ایالت‌های فلز‌آئی آن‌ها به همراه موقعیت کانسار پیر حاجات (با تغییرات اندک از رجبی و همکاران، ۲۰۱۲a). Al: زون البرز، AP: صفحه عربی، CIGS: زون تدریجی زمین‌شناسی و ساختاری ایران مرکزی، E_M: ایران شرقی-مکران، K: کپه‌داغ، LB: بلوکلت، Oph: کمربند افیولیتی، Pr: واحد پر کامبرین، SSZ: زون سنتندج-سیرجان، TVPB: کمربند ماگماهای نفوذی توپشواری، ZFB: کمربند چین خورده زاگرس، ZTZ: زون زاگرس دورانه.

Fig. 1. Distribution map of lead and zinc deposits with their sedimentary hosts and metallogenic provinces along with the location of the Pirhajat deposit (modified from Rajabi et al., 2012a). Al: Alborz Zone, AP: Arabian Plate, CIGS: Geological and Structural Gradual Zone of Central Iran, E_M: Eastern Iran-Makran, K: Kopedagh, LB: Lut Block, Oph: Ophiolitic Belt, Pr: Precambrian Unit, SSZ: Sanandaj-Sirjan Zone, TVPB: Tertiary Volcanic-plutonic belt, ZFB: Zagros Fold Belt, ZTZ: Zagros thrust zone.



شکل ۲. نقشه زمین‌شناسی ۱:۱۰۰۰ کانسار پیرجاجات، با تغییرات اندک از اسدی (۱۴۰۰). FM: گسل اصلی و انشعابات فرعی آن، Fn: گسل‌های شمالی نسبت به گسل اصلی FM. Fs: گسل‌های جنوبی نسبت به گسل اصلی FM

Fig. 2. Geological map 1:1000 of the Pirhajat deposit, modified from Asadi (1400). FM: main faults, Fn: northern faults relative to FM main fault, Fs: southern faults relative to FM main fault.



شکل ۳. مقطع N-S در نقشه زمین‌شناسی کانسار پیرجاجات، اسدی (۱۴۰۰). FM: گسل‌های اصلی، Fn: گسل‌های شمالی نسبت به گسل اصلی FM. Fs: گسل‌های جنوبی نسبت به گسل اصلی FM

Fig. 3. The N_S profile in the geological map of the Pirhajat deposit, Asadi (1400). FM: main faults, Fn: northern faults relative to FM main fault, Fs: southern faults relative to FM main fault.

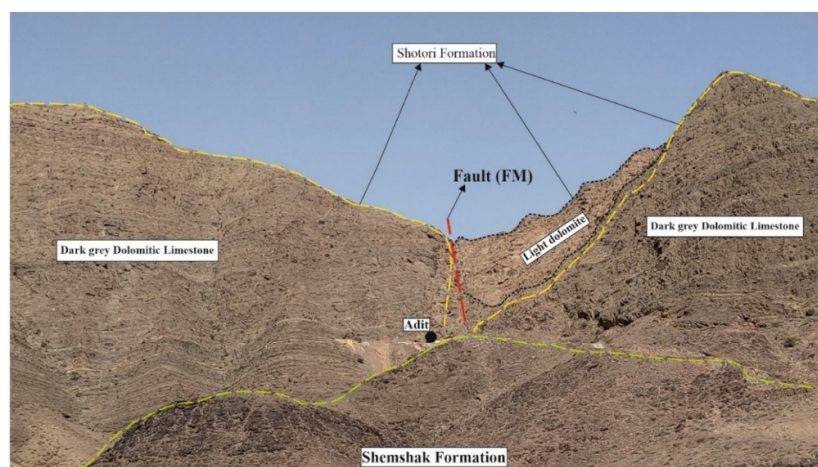
دستیابی به عناصر و اکسیدهای اصلی با روش ICP-OES به آزمایشگاه زرآزم تهران ارسال شد، که پس از آماده‌سازی تعداد ۱۳ نمونه کانسنگ به روش تخریب چهاراسید و ۳ نمونه ماسه‌سنگ به روش تخریب ذوب‌قلیا، مورد تجزیه قرار گرفت.

زمین‌شناسی کانسار

زمین‌شناسی محدوده معدنی شامل سازند شتری متعلق به تریاس میانی (TR_{sh^d}) و سازند شمشک متعلق به ژوراسیک پیشین (J_s) است. جدیدترین واحدهای شناسایی شده شامل؛ رسوبات واریزه‌ای (Q^{la} ، آبرفت‌ها و پادگانهای عهد حاضر (Q^{al}) می‌باشد (شکل ۴). سازند شتری شامل دولومیت‌های زردرنگ و در بخش بالایی شامل عضو آهک اسپهک می‌باشد. سازند شمشک در محدوده شامل ماسه‌سنگ‌ها و سیلولستون‌های به شدت هوازده می‌باشد که در بعضی از نقاط با لایه‌های زغال‌دار همراه است. بخش آهکی محدوده تباوی از آهک‌های تیره و روشن را به نمایش می‌گذارد. مرز بین سازند شمشک و شتری مشخص نبوده و به دلیل فرایندهای تکتونیکی پویا در منطقه این دوسازند توسط گسل در کنارهای و در مواردی سازند شمشک در زیر سازند شتری قرار گرفته است.

روش مطالعه

ابتدا بازدیدهای میدانی و پیمایش‌های متعددی برای شناسایی واحدهای سنگی و لیتلولوژی در محدوده انجام شد. برای مطالعات کانی‌شناسی تعداد ۳۹ نمونه از ترازهای مختلف در تونلهای کانسار سرب پیر حاجات برداشت شد که تعداد ۱۹ نمونه مقطع نازک، ۱۵ نمونه مقطع نازک صیقلی و ۵ نمونه مقطع صیقلی تهیه و مطالعه شده است. مطالعات کانی‌شناسی و سنگنگاری مقاطع نازک و نازک صیقلی و تصویربرداری از آن‌ها در آزمایشگاه زمین‌شناسی دانشگاه پیام‌نور مرکز اصفهان توسط میکروسکوپ Olympus مدل BX41 انجام شده است. مطالعات کانه‌نگاری در آزمایشگاه زمین‌شناسی دانشگاه بعلی‌سینا توسط میکروسکوپ زایس مدل Axioplan2 انجام گرفته است. به منظور مطالعات دقیق کانی‌شناسی و شناسایی کانی‌های کمیاب تعداد ۲ نمونه از مقاطع صیقلی برای مطالعات SEM-EDX به مرکز پژوهش متالورژی رازی کرج ارسال شد که پس از آماده‌سازی و انود کردن مقاطع با پلاتین، توسط میکروسکوپ الکترونی روبشی مدل VEGA//TESCAN با ولتاژ ۲۰ kv مورد بررسی قرار گرفت. تعداد ۱۶ نمونه از کانسنگ برای تجزیه شیمیایی و



شکل ۴. نمایی از واحدهای سنگی منطقه و موقعیت دهانه تونل کانسار پیر حاجات در آن (دید به سمت خاور).

Fig. 4. Lithology and location of the Pirhajat mine tunnel (looking to east).

آهکی می‌باشد که بخش بالایی، سیمایی خشن و صخره‌ساز دارد. ضخامت واحد آهکی در محدوده کانسار بیش از ۱۵۰ متر می‌باشد و ضخامت لایه‌های تیره و روشن آهک هر کدام از ۰/۵ متر تا ۱ متر متغیر است (شکل ۵). براساس مطالعات میکروسکوپی کانی‌های شناسایی شده در

سنگنگاری سازند شتری (واحد TR_{sh^d}): لیتلولوژی سازند شتری شامل دولواستون با سن تریاس میانی می‌باشد که بخش زیرین آن دولواستون یکنواخت زرد و منظم لایه و بخش بالایی آن سنگ‌آهک ضخیم‌لایه است و هم‌چنین دولواستون‌های تیره و خاکستری که شامل دولواستون‌های

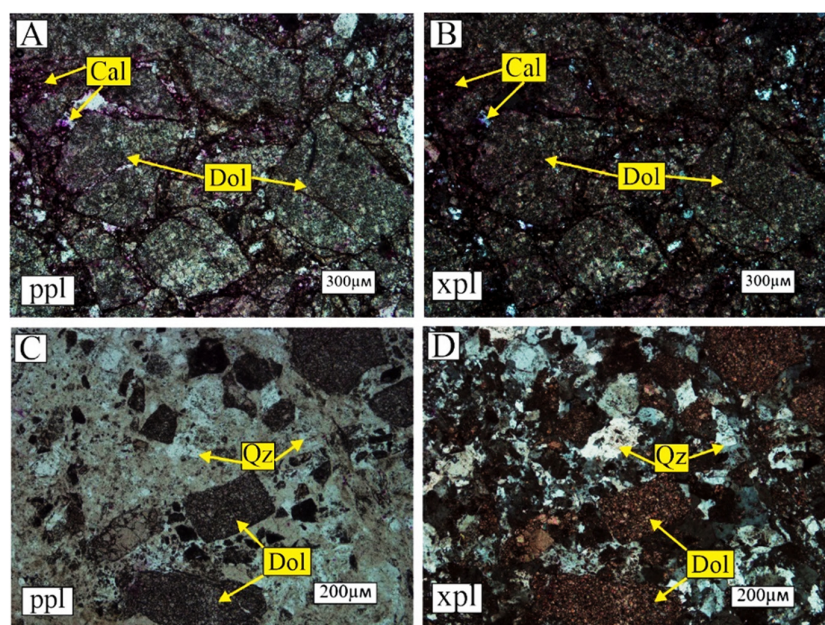
و کلسیت امکان پذیر نبوده به همین عنوان برای شناسایی از محلول آلیزارین استفاده شده است (شکل ۶). سیمان در این مقاطع کربنات ریزبلور بوده که حفره‌ها توسط کلسیت درشت‌بلور و شکستگی‌ها توسط کوارتز پر شده است.

سنگ‌میزان کانسار شامل؛ کانی‌های کربناته دولومیت و کلسیت و کانی کوارتز می‌باشد. کانی‌های دولومیت و کلسیت تا حد زیادی تحت تأثیر عوامل تکتونیکی قرار گرفته و در مقاطع میکروسکوپی اغلب در قطعات برشی دیده می‌شود که به دلیل دانه‌ریز بودن شناسایی دقیق دولومیت



شکل ۵. نمایش واحد دولومیتی سازند شتری، کانسار پیر حاجات (دید به سمت شمال).

Fig. 5. Dolomite unit of Shotori Formation, the Pirhajat deposit, Tabas (looking to north).



شکل ۶. A و B: تصویر میکروسکوپی سنگ میزان بر شی شده (تراز ۱۲۰۵ متر)، C و D: تصویر میکروسکوپی کانسنگ بر شی با سیمان کوارتز و کلسیت (تراز ۱۲۲۵ متر)، کانسار پیر حاجات. Dol: دولومیت، Cal: کلسیت، Qz: کوارتز، PPL: نور عبوری عادی، XPL: نور عبوری منقاطع (حروف اختصاری از ویتنی و ایوانز، ۲۰۱۰).

Fig. 6. A and B: Microscopic picture of breccia host rock (level 1205 m), C and D: Microscopic picture of breccia ore with quartz and calcite cement (level 1225 m), Pirhajat deposit. Dol: dolomite, Cal: calcite, Qz: quartz. PPL: transmittedlight, XPL: cross-polarized light (abbreviations from Whitney and Evans, 2010).

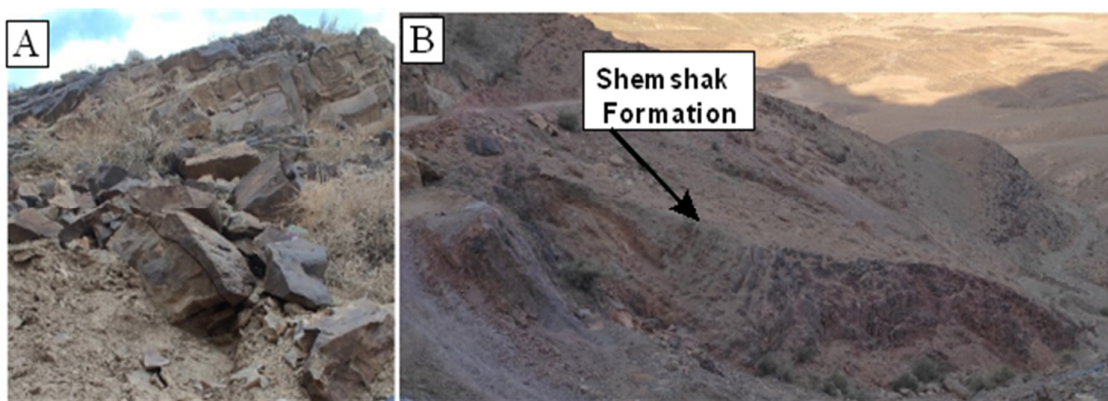
عضو B: ماسهسنگ بالایی: ترکیب سنگ‌شناسی همگن، حاوی دوکفه‌ای، آمونیت، نشانه یک محیط دریایی بوده و حاوی گلوكونیت می‌باشد.

عضو C: شیل + لایه زغال‌دار زیرین: بخش زغال‌دار پائینی حاوی آرژیلیت، مهم‌ترین ویژگی آن تناوب زغال‌سنگ است (محیط دلتایی - مردابی).

عضو D: ماسهسنگ زیرین: ماسهسنگ پائینی تغییر شدید ترکیبی در جهت قائم، نشانه شبکه‌ای از رودخانه‌های بریده است.

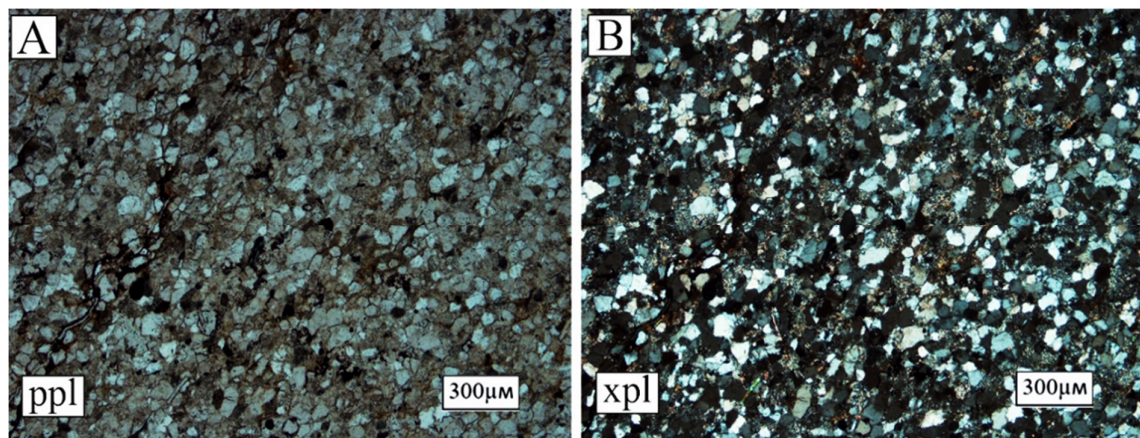
سنگ‌نگاری سازند شمشک (واحد J_s): اگرچه مقطع تیپ این سازند در البرز مرکزی است، ولی در نواحی طبس و کرمان گسترش دارد و از ماسهسنگ، شیل، مارن، آهک و کنگلومرا تشکیل شده است. ماسهسنگ‌های این سازند در محدوده مورد مطالعه از درصد بالای سیلیس^۱ تشکیل شده است (شکل ۷). این سازند از ۴ عضو زیر تشکیل شده است:

عضو A: شیل + سیلتستون زغال‌دار بالایی: بخش زغال‌دار بالایی به خاطر داشتن لایه‌های زغالی فراوان شاخص بوده و لیتوژئی آن شامل شیل و سیلتستون است.



شکل ۷. A: واحد ماسهسنگی سازند شمشک، کانسار پیر حاجات (دید به سمت جنوب) و B: سازند شمشک، کانسار پیر حاجات (دید به سمت باخترا).

Fig. 7. A: Sandstone unit of Shemshak Formation, the Pirhajat deposit (looking to the south). B: the Shamshak Formation, the Pirhajat deposit (looking to the west).



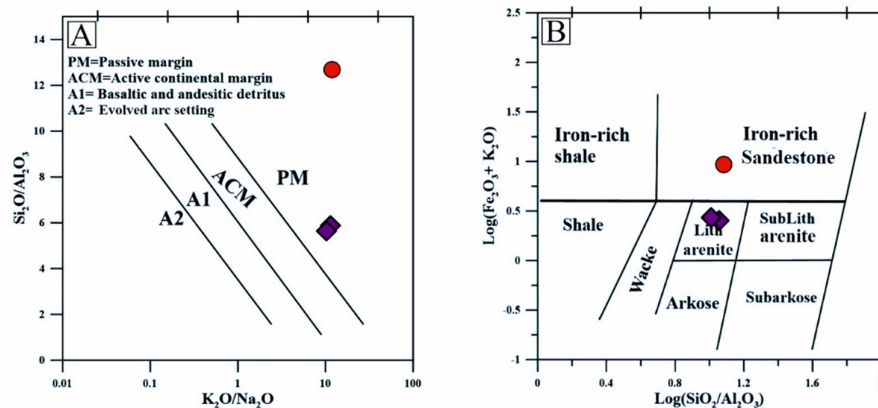
شکل ۸. A و B: تصویر میکروسکوپی نمونه ماسهسنگی سازند شمشک در کانسار پیر حاجات. PPL: نور عبوری عادی، XPL: نور عبوری متقاطع.

Fig 8. A and B: Photomicrographs of sandstone in the Shemshak formation, Pirhajat deposit. PPL: transmitted light, XPL: cross-polarized light.

^۱ Silicification

از ذهن نیست. براساس نتایج تجزیه اکسیدهای اصلی بر روی تعداد ۳ نمونه ماسه‌سنگ (جدول ۱) از محدوده مورد مطالعه نمودارهایی تعیین جایگاه زمین‌ساختی و طبقه‌بندی ماسه‌سنگ‌های محدوده رسم شده است. در نمودار K_2O/Na_2O در برابر SiO_2/Al_2O_3 ماسه‌سنگ‌های $Log(SiO_2 + K_2O)$ در برابر $(Fe_2O_3 + K_2O)$ در قسمت لیت‌آرنایت قرار می‌گیرد به غیراز نمونه Al_2O_3 در قسمت لیت‌آرنایت قرار می‌گیرد به غیراز نمونه دگرگون شده که در قسمت ماسه‌سنگ غنی از آهن قرار می‌گیرد (شکل ۹).

ماسه‌سنگ‌های مشاهده شده در کانسار پیر حاجات بسیار دانه‌ریز بوده و کائی اصلی تشکیل‌دهنده آن کوارتز با درصد نسبتاً بالا است (شکل ۸). این واحد در تقسیم‌بندی فولک در طبقه لیت‌آرنایت^۱ قرار می‌گیرد به جز یک نمونه ماسه‌سنگ دگرگون شده که غنی از آهن می‌باشد. لیت آرنایت سنگی است که بیش از ۲۵٪ ذرات آن در قطب R بوده و نسبت بین F/R از ۳/۱ کمتر است. در نمونه‌های ماسه‌سنگ منطقه به دلیل ریزدانه بودن بافت آن‌ها قطعات خردشده‌سنگ‌ها قابل تشخیص نمی‌باشد اما به دلیل تکتونیک بسیار فعال محدوده وجود خردشده‌سنگ در ماسه‌سنگ‌ها دور



شکل ۹. موقعیت ساختاری ماسه‌سنگ‌های کانسار پیر حاجات، A: جایگاه زمین‌ساختی نمونه‌ها بر روی نمودار (روز و کورچ، ۱۹۸۸)، B: ردیابی سنگ به کمک نمودار (هرون، ۱۹۸۸). دایره قرمز؛ نمونه ماسه‌سنگ دارای آهن، لوزی بنفش؛ نمونه ماسه‌سنگ لیتارنایت.

Fig. 9. Characteristics of the sandstones of the Pirhajat mining area, A: Tectonic setting of the samples on the diagram (Roser and Korsch, 1988), B: Rock classification using the diagram (Heron, 1988). Red circle= Sandstone sample with iron; purple rhombus = Litharenite sandstone sample.

جدول ۱. نتایج حاصل از تجزیه اکسیدهای اصلی (بر حسب درصد وزنی) بر روی ماسه‌سنگ‌های کانسار پیر حاجات.

Table 1. The analytical data of the main oxides (in wt%) on the sandstones of the Pirhajat deposit.

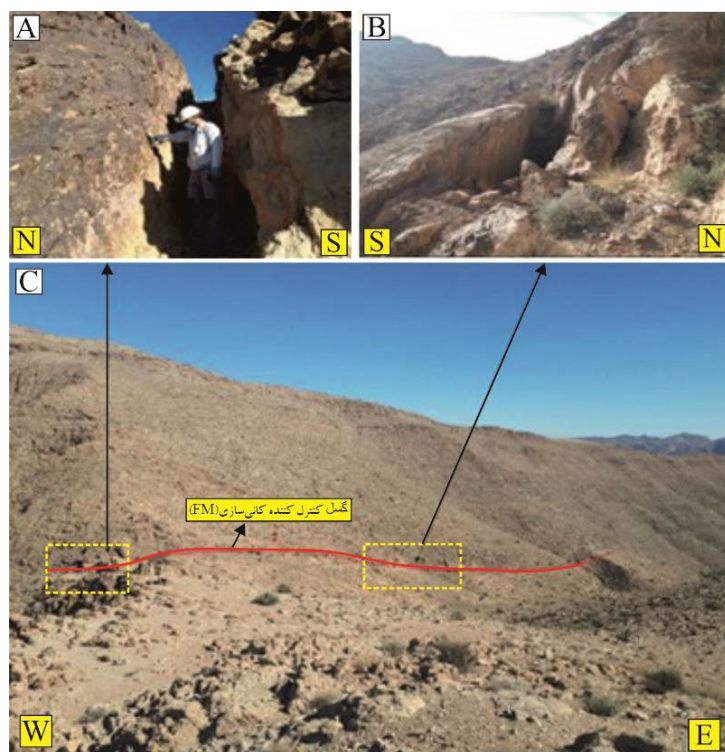
Element	PS-109-A	PS-111-A	PS-138
SiO_2	86.4	79.56	85.34
Al_2O_3	7.57	6.91	8.33
BaO	<0.05	<0.05	<0.05
CaO	0.35	0.42	0.38
Fe_2O_3	1.11	7.9	1.12
K_2O	1.41	1.4	1.58
MgO	0.3	0.45	0.32
MnO	<0.05	<0.05	<0.05
Na_2O	0.24	0.11	0.28
P_2O_5	0.07	0.24	0.05
SO_3	0.11	0.26	0.08
TiO_2	0.28	0.31	0.3
Sr	<0.05	0.09	<0.05
LOI	2.15	2.37	2.21
Total	99.99	100.2	99.99

^۱ Litharenite

حاوی آثار کانی‌سازی هستند و آریموت ۳۰۰-۱۲۰ درجه دارند. گسل اصلی کانه‌دار نیز یک گسل خاوری- باختری باشیب ۷۰ تا ۸۰ درجه به سمت جنوب می‌باشد. این گسل امتدادلوز بوده و ساختارهای مرتبط با گسل‌های امتدادلوز از جمله فضاهای کششی و فشارشی به خوبی در امتداد آن قابل مشاهده است. گسل اصلی کانه‌دار و کلیه این ساختارها تحت تأثیر عملکرد گسل پی‌سنگی و اصلی، شمالی- جنوبی کلمرد (که از زمان فعالیت تکتونیکی کاتانگابی فعل است) می‌باشد. وجود آثار کانی‌سازی رگچه‌ای گالن و مالاکیت در اطراف گسل راهنمای حفر تونل‌های اکتشافی و استخراجی بوده است (شکل‌های ۱۰ و ۱۱).

زمین‌شناسی ساختاری منطقه

در منطقه مورد مطالعه، سه دسته ساختار تکتونیکی وجود دارد که شامل؛ ۱- گسل‌ها، ۲- درزه و شکستگی‌ها، ۳- لایه‌بندی. هر سه عامل ذکر شده به عنوان سطوح ضعف، میزبان مناسبی برای کانی‌سازی هستند ولی فقط بعضی از این ساختارهای دارای کانی‌سازی است. براساس بررسی‌های میدانی لایه‌بندی‌ها فاقد آثار کانی‌سازی هستند. درزه‌ها و شکستگی‌ها نیز به دو دسته تقسیم می‌شوند که شامل؛ درزه‌های مرتبط با چین خوردگی مایم در منطقه و عمود بر لایه‌بندی و درزه‌های مرتبط با گسل‌ها و شکستگی‌ها است. درزه‌های مرتبط با گسل‌ها و شکستگی‌ها در مواردی که با گسل کانه‌دار تداخل دارند



شکل ۱۰. تصویر موقعیت گسل (FM)، کنترل کننده کانی‌سازی، کانسار پیر حاجات. A: قسمتی از گسل اصلی در غرب محدوده، B: قسمتی از گسل اصلی در قسمت خاوری محدوده، C: تصویر کلی از گسل اصلی محدوده با نام FM.

Fig. 10. Photograph of fault location (FM), controlling mineralization, the Pirhajat deposit, A: Part of the main fault in the west of the region, B: Part of the main fault in the eastern part of the region, C: General picture of the main fault of the region named FM.

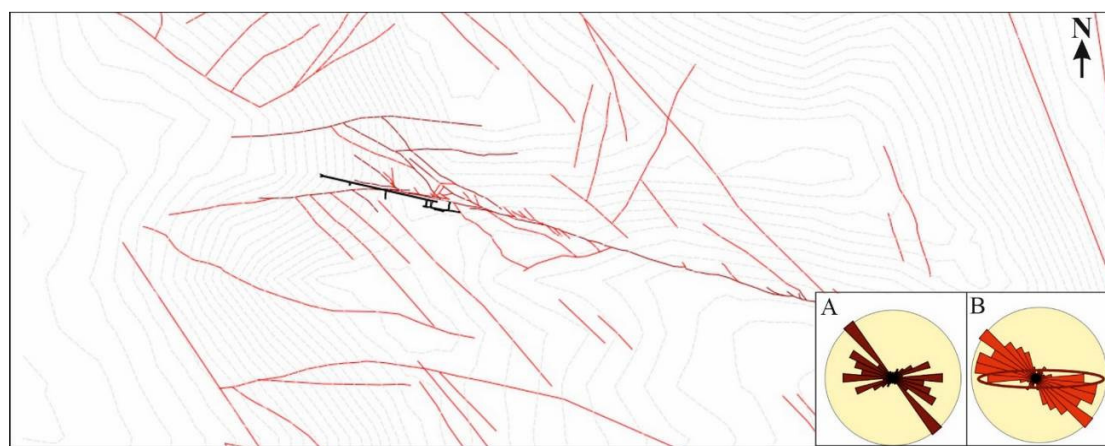
آن برشی شدن شدید در سنگ‌میزبان و کانسنگ، شناسایی و تفکیک برخی از کانی‌ها خصوصاً کانی‌های کربناته (تفکیک دولومیت و کلسیت) تا حدی دشوار است. به طور اجمالی کانی‌های اصلی شناسایی شده شامل کانی‌های کربناته (دولومیت و کلسیت)، کوارتز، سرب طبیعی،

کانی‌شناسی سنگ‌میزبان و کانسنگ در کانسار سرب پیر حاجات با توجه به دو سازند شتری و شمشک دارای رخمنون، کانی‌شناسی نیز پیچیده نبوده و اکثر تنوع کانی‌شناسی در کانی‌های فلزی می‌باشد. هم‌چنین تحت تأثیر فرایندهای تکتونیکی متعدد و به دنبال

کوارتز در این کانسار شناسایی شد. نسل اول کوارتزهای درشت‌بلور که بافت‌های دانه‌ای، تیغه‌ای را به نمایش می‌گذارد و میزبان کانی‌سازی سرب است. نسل دوم کوارتزهای ریز‌بلور (پلی‌کریستالین) هستند که توسط بلور مجدد تشکیل شده‌اند (شکل ۱۲). در سنگ‌میزبان شکستگی‌های موجود در سنگ توسط کوارتزهای دانه‌ریز تا دانه‌متوسط پر شده و در کانسنگ به صورت سیمان تشکیل شده است. در اثر تغییر ناگهانی دما تحت‌تأثیر اختلاط آب‌های زیرزمینی داغ با آب‌های جوشی، در لبه دیواره‌های شکستگی‌ها و حفره‌ها کوارتزهای نیمه شکل دار تشکیل شده است.

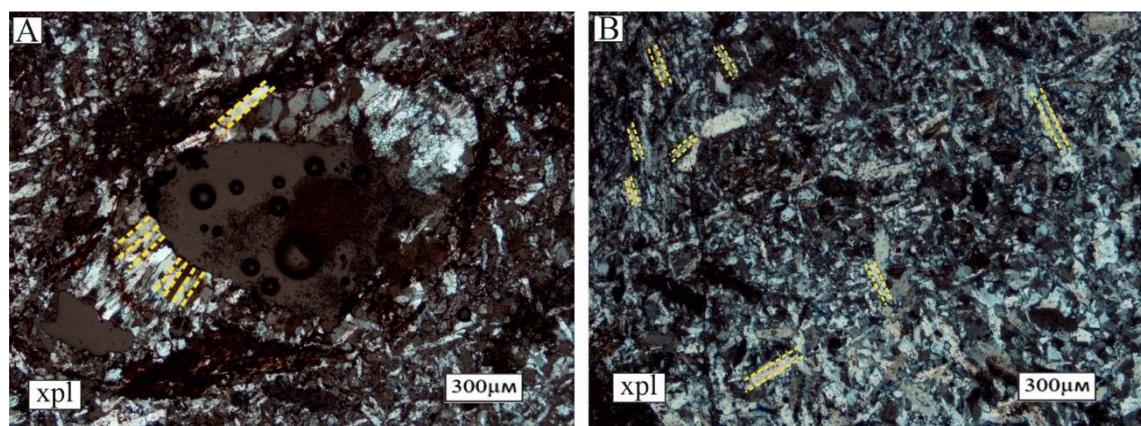
سرپ‌اکسیدی، گالن، کالکوپیریت، اسفالریت، باریت، مالاکیت، آزوریت و اکسیدهای آهن (گوسان) می‌باشد. پیریت که کانی همراه معمول در کانسارهای سرب و روی با میزبان کربناتی است، در این جا کمیاب است. نقره با عیار متوسط در شبکه بلوری سرب و گالن و همراه کانی‌های سولفوسالت مانند تترائدریت وجود دارد. هم‌چنین طلا به مقدار ناچیز به همراه کالکوپیریت نیز وجود دارد.

کوارتز: از اصلی‌ترین و فراوان‌ترین کانی‌های مشاهده شده در این کانسار کانی سیلیکاته کوارتز می‌باشد که کانه‌سازی اصلی گالن و سرب‌طبعی نیز همراه با میزبان کوارتزی رخداده است. براساس مشاهدات میکروسکوپی دو نسل



شکل ۱۱. نقشه گسل‌های برداشت شده به همراه رزدیاگرام گسل‌های محدوده، با تغییرات اندک از اسدی (۱۴۰۰)، کانسار پیر حاجات.

Fig. 11. The map of the extracted faults along with the rose diagram, A: The rose diagram of mineral trend, B: The rose diagram of faults of the region, modified from Asadi (1400), the Pirhajat deposit.



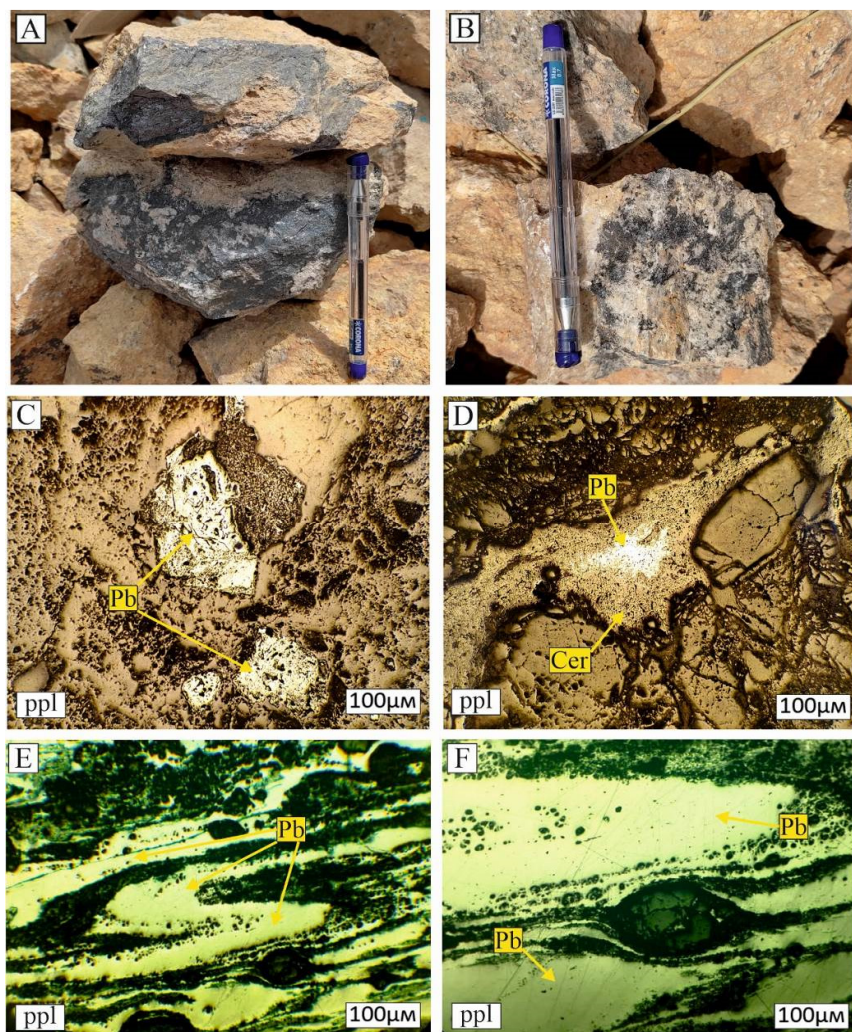
شکل ۱۲. A: تصویر میکروسکوپی (نمونه از تراز ۱۲۳۵ متر)، تشکیل کوارتزهای تیغه‌ای در اطراف حفره، B: تصویر میکروسکوپی (نمونه تراز ۱۲۳۰ متر)، کوارتزهای تیغه‌ای نسل اول. کانسار پیر حاجات. XPL: نور عبوری منقاط.

Fig. 12. A: Photomicrographs (sample level 1235 m), formation of lamellar quartz around the cavity, B: Photomicrographs (sample level 1230 m), first generation lamellar quartz. Pirhajat deposit. XPL: cross-polarized light.

سنگ‌میزان و اختلاط با آب‌های سطحی و جوی است (معانی جو و همکاران، ۲۰۲۰). بافت‌های مشاهده شده در سرب طبیعی بیشتر شامل بافت پرکننده فضای خالی و جانشینی می‌باشد (شکل ۱۳ C و D). هم‌چنین بافت‌های خاص (شبیه بافت‌های دگرگونی) در سرب طبیعی نیز مشاهده شد که گمان می‌رود این نوع بافت به دلیل تکتونیک بسیار فعال محدود است (شکل ۱۳ E و F).

کانی روی‌دار در کانسار پیرحاجات مختص به اسفالریت می‌باشد که فراوانی چندانی ندارد. اسفالریت به صورت رگچه‌ای و ادخال‌های ریز و منفرد در زمینه‌ای از سرب طبیعی وجود دارد.

سرب طبیعی: سرب طبیعی، فلز اولیه و اصلی در کانسار سرب پیرحاجات می‌باشد که اغلب به صورت ریزبلور و پرکننده فضاهای خالی در بین قطعات برشی و شکستگی‌های گسلی تشکیل شده است. سرب طبیعی نزدیک به سطح تشکیل شده و تحت تأثیر تکتونیک منطقه کانی‌سازی در کانسنگ پراکنده شده است. سرب طبیعی به صورت ریزبلور و نازک‌لایه به صورت قشری بر روی برش‌ها، سطوح شکاف‌ها و فضاهای خالی تشکیل شده است (شکل ۱۳ A و B). این حالت از کانی‌سازی به دلیل کاهش ناگهانی دما و واکنش سریع سیال کانسارساز با



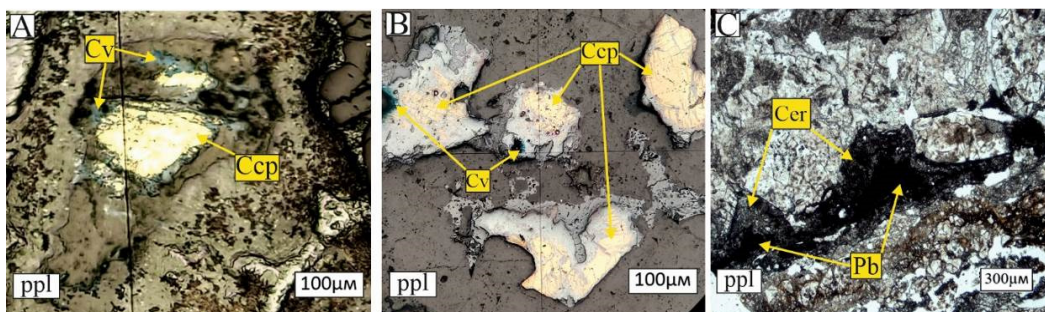
شکل ۱۳. A: نمونه دستی از سرب طبیعی ریز بلور، B: نمونه دستی از کانی‌سازی سرب در میزان سیلیسی، کانسار پیرحاجات. C: نمایش بافت پرکننده فضای خالی توسط کانی سرب طبیعی، D: نمایش کانی سرب طبیعی با بافت جانشینی با سروزیت، E و F: بافت خاص سرب طبیعی، شبیه به بافت‌های دگرگونی تحت تأثیر فرآیندهای تکتونیکی. Pb: سرب طبیعی، Cer: سروزیت. (حروف اختصاری کانی‌ها از ویتنی و ایوانز، ۲۰۱۰).

Fig. 13. A: Hand specimen of microcrystalline native lead, B: Hand specimen of lead mineralization in siliceous host, the Pirhajat deposit. C: Open-space filling texture by native lead mineral, D: Native lead mineral with replacement texture with cerussite, E and F: Special texture of native lead, similar to metamorphic textures affected by tectonic processes. Pb: Native lead, Cer: cerussite. (Mineral abbreviations from Whitney and Evans, 2010).

وجود سنگ‌میزبان کربناته حضور سروزیت هرچند به مقدار کم را توجیه می‌کند و طبق واکنش ۱ تشکیل می‌شود (گیلبرت و پارک، ۱۹۹۷) و (جزی و شهاب‌پور، ۲۰۱۰) :

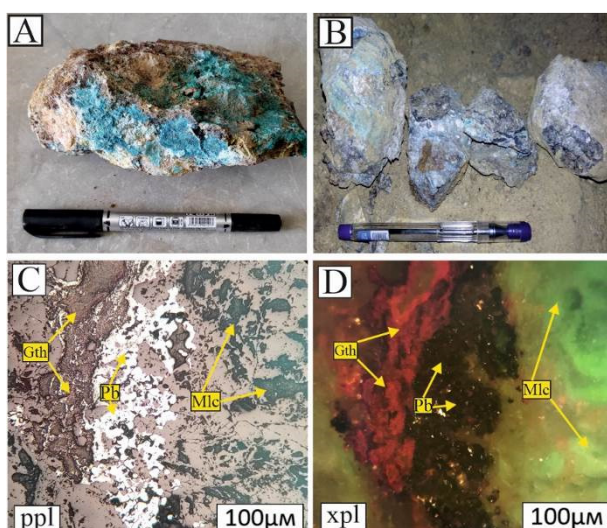
$$\text{PbS} + \text{H}_2\text{O} + \text{CO}_2 + 2\text{O}_2 \rightarrow \text{PbCO}_3 + \text{SO}_4^{2-} + 2\text{H}^+ \quad (1)$$

سروزیت: سروزیت در کانسارهای سرب شناخته شده، فراوان‌ترین کانی ثانویه سرب است، اما در کانسار پیر حاجات، سروزیت دارای فراوانی چشم‌گیری نمی‌باشد. لذا سروزیت موجود در مقاطع میکروسکوپی به شکل جانشینی با سرب طبیعی مشاهده شده است (شکل ۱۴C).



شکل ۱۴. A و B: جانشینی کانی کالکوپیریت و کوولیت، C: جانشینی کانی سرب طبیعی و سروزیت، کانسار پیر حاجات. Ccp: کالکوپیریت، Cv: کوولیت، pb: سرب طبیعی، Cer: سروزیت. (حروف اختصاری کانی‌ها از وینتني و ایوانز، ۲۰۱۰).

Fig. 14. A and B: Replacement of chalcopyrite by covellite, C: Native lead mineral replaced by cerussite, the Pirhajat deposit. Ccp: chalcopyrite, Cv: covellite, pb: Native lead, Cer: cerussite. (Mineral abbreviations from Whitney and Evans, 2010).



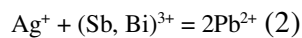
شکل ۱۵. A: نمونه دستی از کانی مالاکیت، آزوریت و کریزوکلا، B: نمونه دستی از کانی‌سازی آزوریت همراه با سرب طبیعی در زمینه سیلیسی، C و D: تصویر میکروسکوپی از مالاکیت، سرب طبیعی و گوتیت، کانسار پیر حاجات. Pb: سرب طبیعی، Gth: گوتیت، Mlc: مالاکیت. PPL: نور طبیعی، XPL: نور پلاریزه. (حروف اختصاری کانی‌ها از وینتني و ایوانز، ۲۰۱۰).

Fig. 15. A: Hand specimen of malachite, azurite and chrysocolla, B: Hand specimen of azurite mineralization with native lead in silica context, C and D: The photomicrograph of malachite, native lead and goethite, the Pirhajat deposit. Pb: native lead, Gth: Goethite, Mlc: Malachite. PPL: natural light, XPL: polarized light. (Mineral abbreviations from Whitney and Evans, 2010).

این که ادخال‌های پیریت و کالکوپیریت غالباً اکسید شده‌اند و به صورت کوولیت و اکسیدهای آهن درآمده‌اند (شکل A، B). از کانی‌های مس‌دار مشاهده شده در کانسار، کانی‌های مالاکیت، آزوریت و کریزوکلا می‌باشد (شکل ۱۵). این کانی‌ها طی فرآیندهای سوپرژن تشکیل شده است و قاعداً باید نزدیک به سطح باشند اما در کانسار سرب

پیریت و کالکوپیریت: کانی پیریت برخلاف دیگر کانسارهای سرب با میزبان کربناته که فراوان‌ترین کانی در کانسنگ می‌باشد (هی و همکاران، ۲۰۲۰)، در کانسار سرب پیر حاجات کمیاب و گسترش چندانی ندارد. کانی کالکوپیریت نیز دارای فراوانی قابل ملاحظه‌ای نمی‌باشد اما نسبت به پیریت در مقاطع بیشتر مشاهده شده است ضمن

به شعاع یونی ($\text{Pb}^{2+} = 1.20 \text{ Å}$, $\text{Ag}^+ = 1.26 \text{ Å}$) امکان پذیر است اما مقدار جانشینی متفاوت بوده و به حضور عناصر واسطه‌ای همچون آنتیموان و بیسموت بستگی دارد (جزی و شهاب‌پور، ۲۰۱۰). این جانشینی به شکل رابطه ۲ قابل انجام است:



شکل دیگر تمرکز نقره در گالن و سرب به صورت حضور در کانی‌های نقره‌دار مانند؛ تترائدریت- تناناتیت و آکانتیت است که به صورت ادخال در گالن و سرب حضور دارند. بالا بودن آنتیموان و نقره، حضور احتمالی تترائدریت- تناناتیت را نشان می‌دهد و کم بودن آنتیموان و بیسموت و بالا بودن نقره حضور احتمالی آکانتیت در گالن و سرب را نشان می‌دهد (کبودمهری و همکاران، ۲۰۲۲).

پیر حاجات به واسطه گسل‌های متعدد و ایجاد مسیر و مجراء برای حرکت آب‌های سطحی و سیال، کانی‌سازی سوپرژن مس به لحاظ ارتفاعی در ترازهای پایین‌تر از تشکیل کانی‌سازی سرب رخ داده است که کانی‌سازی مس در این کانسار دارای غنی‌شدگی نسبتاً بالایی می‌باشد. در ترازهای نزدیک به کانی‌سازی سرب، کانی‌سازی مس همراه با سرب در زمینه سیلیسی رخ داده است.

نقره: عنصر نقره را می‌توان مهم‌ترین عنصر پس از سرب به عنوان فرآورده جانبی در نظر گرفت. میانگین نقره در سرب طبیعی کانسار پیر حاجات برابر ۲۷ ppm است. نقره به شکل‌های مختلفی می‌تواند در گالن و سرب متتمرکز شود که از آن جمله به صورت محلول جامد و ادخال کانی‌های مختلف است. جانشینی نقره به جای سرب با توجه

جدول ۲. نتایج آنالیز SEM، کانسار پیر حاجات.

Table 2. Results of SEM analysis, sample PT.05.116, Pirhajat deposit.

Sample		PT.05.116					
Zone	Zone 1			Zone 2			
Point	P. A	P. B	P.C	P. A	P. B	P. C	
Mineral	Goethite	Chrysocolla	Goethite	Cuprite	Chrysocolla	?	
Element (Wt.%)							
Pb	0.13	0	0.28	0	0	2.59	
Ag	0	0	0	0	0	0	
Cu	2.44	26.83	0.74	70.86	37.93	33.14	
Au	0.01	0	0	0	0	0	
Al	0	0.15	0	0	0.44	0	
Fe	57.68	24.1	67.42	1.47	1.51	21.8	
Zn	1.44	0.44	0.26	0	0	0	
Sb	0	0	0	0	0	0.28	
As	0	0	0	0	0	0	
Cd	0	0	0	0	0	0.31	
C	0	0	0	0	3.68	0	
S	0	0	0	27.67	0.78	1.16	
Si	1.66	13.94	1.28	0	14.53	3.18	
O	36.63	34.54	30.02	0	40.05	37.56	
Total	99.99	100	100	100	98.92	100.02	

Sample		PT.05.116					
Zone	Zone 3			Zone 4			
Point	P. A	P. B	P.C	P. A	P. B	P.C	
Mineral	Galena	Covellite	Goethite	Covellite	Goethite	Tenorite	
Element (Wt.%)							
Pb	79.88	0	1.35	1.47	0.14	0	
Ag	0	0	0	0	0.09	0	
Cu	1.16	69.09	0.86	68.84	0.96	16.36	
Au	0	0	0	0	0	0	
Al	0	0	0	0	0	0	
Fe	5.69	0.59	65.16	0.53	69.1	0.22	
Zn	0	0	0	0	0	0	
Sb	0	0.26	0.53	0	0.26	0	
As	0	0	0	0	0	0	
Cd	0	0	0	0	0	0	
C	0	0	0	0	0	0	
S	13.26	30.07	0	28.88	0	0.21	
Si	0	0	1.45	0.28	1.77	0	
O	0	0	30.65	0	27.68	83.21	
Total	99.99	100.01	100	100	100	100	

لیناریت، ماسیکوت (لیتارژ)، پلاتنریت، آنگلزیت، گالن، تنوریت، کوپریت و همچنین سرب طبیعی شناسایی شد (شکل‌های ۱۶ و ۱۷). لذا وجود چنین کانی‌های اکسیدی از جمله اکسیدهای سرب بیان گر غالب بودن فاز اکسیدی در این کانسار نسبت به فاز سولفیدی می‌باشد. این فاز اکسیدی می‌تواند به دلیل سطحی بودن شرایط تشکیل کانسار و فعالیت فرآیندهای سوپرژن در محدوده معدنی پیر حاجات باشد. کانی‌هایی چون گوتیت، کولولیت، کریزوکلا، کوپریت و تنوریت نیز در نتایج SEM مشاهده شد.

در کانسار پیر حاجات با توجه به بالا بودن مقدار آنتیموان و نقره و کم بودن بیسموت، عنصره نقره در کانی گروه فهلوو، تترائدریت- تنانیت متمرکز شده و به صورت ادخال درون سرب طبیعی وجود دارد. آنتیموان به مقدار بالا معمولاً در کانسارهای با دمای تشکیل پایین تمرکز می‌یابد (احمدی و افضلی، ۱۳۹۸). شناسایی کانی تترائدریت در کانسار پیر حاجات توسط تحلیل نتایج SEM انجام شده است.

مطالعات SEM-EDX: با تحلیل نتایج حاصل از مطالعات (جدول ۲)، کانی‌هایی چون تترائدریت، SEM-EDX

ادامه جدول ۲. نتایج آنالیز SEM نمونه PT.30.123، کانسار پیر حاجات.

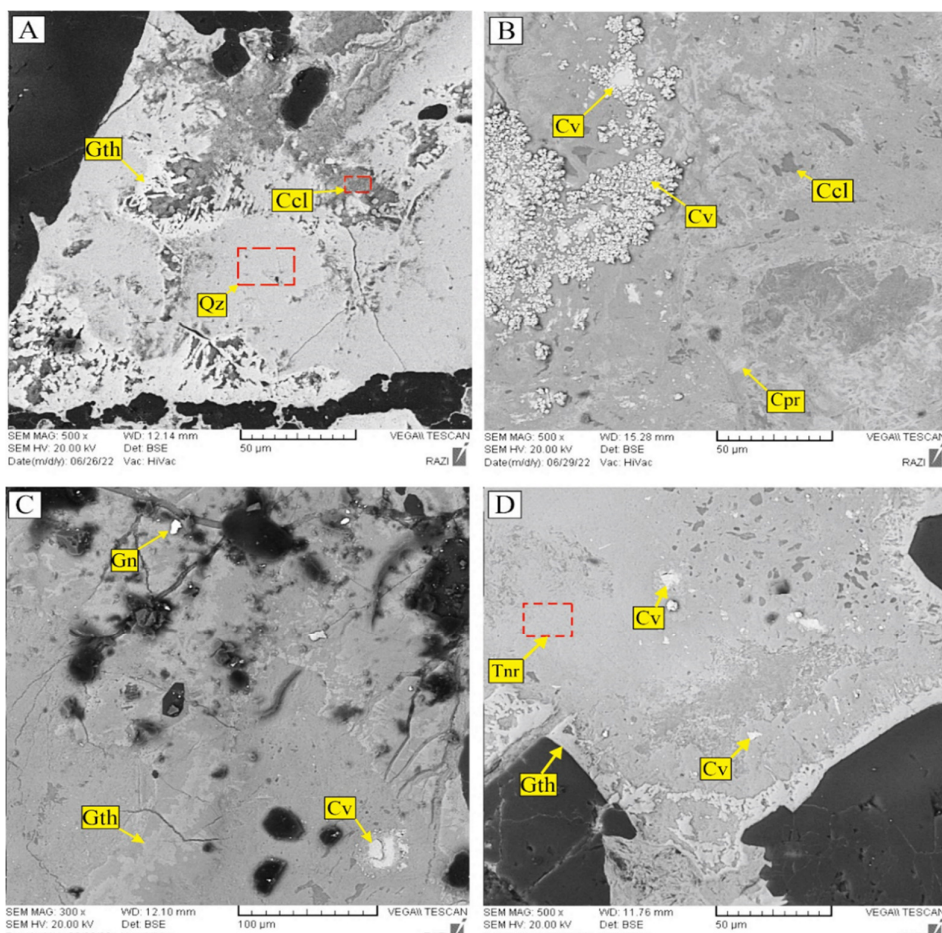
Continued Table 2. Results of SEM analysis, sample PT.30.123, Pirhajat deposit.

Sample		PT.30.123					
Zone		Zone 1			Zone 2		
Point	P.A	P.B	P.C	P.A	P.B	P.C	
Mineral	Pb	Plattnerite	Tetrahedrite	Plattnerite	Pb	Anglesite	
Element (Wt.%)							
Pb	98.18	60.68	0	72.69	100	82.39	
Ag	0.3	0	2.3	0	0	0	
Cu	0.52	1.22	36.08	0	0	0	
Au	0	0	0	0	0	0	
Al	0	0	0	0	0	0	
Fe	0	0	0.64	0	0	0	
Zn	0	0	4.21	0	0	0	
Sb	0.99	0	24.53	0	0	0	
As	0	0	2.86	0	0	0	
Cd	0	0	0	0	0	0	
C	0	0	0	0	0	0	
S	0	0	29.38	0	0	10.1	
Si	0	0	0	0	0	0	
O	0	38.1	0	27.31	0	7.51	
Total	99.99	100	100	100	100	100	
Sample		PT.30.123					
Zone	Zone 3			Zone 4			
Point	P.A	P.B	P.C	P.A	P.B	P.C	
Mineral	Pb	Plattnerite	Linarite	Pb	Plattnerite	Chalcopyrite	
Element (Wt.%)							
Pb	100	63.57	3.89	99.69	64.94	0	
Ag	0	0	0	0	0	0	
Cu	0	0	63.31	0.31	0.5	34.67	
Au	0	0	0	0	0	1.7	
Al	0	0	0.34	0	0	0	
Fe	0	0	0	0	0.24	28.98	
Zn	0	0	0	0	0	0	
Sb	0	0	0	0	0	0	
As	0	0	0	0	0	0	
Cd	0	0	0	0	0	0	
C	0	0	0	0	0	0	
S	0	0	32.45	0	0	34.65	
Si	0	0	0	0	0	0	
O	0	36.43	0	0	34.32	0	
Total	100	100	99.99	100	100	100	

پلاتنریت: این کانی به صورت پوشش خاکی سیاه‌رنگی در سطوح تونل‌ها، دویل‌ها و کارگاه‌های بهره‌برداری شده قدیمی و در بخش‌هایی با مقدار اکسیژن بالا به عنوان اصلی‌ترین کانی اکسیدی سرب در کانسار پیر حاجات حضور دارد. این کانی خاص مناطق با آب و هوای خشک است. این کانی در محیط‌های اسیدی، در پتانسیل اکسایشی (Eh) بالا به وجود می‌آید و با افزایش pH این کانی می‌تواند در پتانسیل اکسایش پایین‌تر نیز تشکیل شود (صباحی و همکاران، ۲۰۲۱).

ترنائدریت- تنانتیت: ترنائدریت با فرمول تجربی $\text{Cu}_{12}\text{As}_4\text{S}_{13}$ و تنانتیت با فرمول تجربی $\text{Cu}_{12}\text{Sb}_4\text{S}_{13}$ مهم‌ترین کانه‌های نقره و آنتیموان دار در کانسار سرب پیر حاجات می‌باشد که در این میان ترنائدریت از سهم بیشتری برخوردار است. این کانی به صورت ادخال‌های بی‌شک در داخل سرب طبیعی دیده شده است.

لينارييت: لينارييت با فرمول تجربی $\text{PbCu}(\text{OH}_2 - \text{SO}_4)$ یک کانی سوپرژن از گروه سولفوسالت می‌باشد که در کانسار سرب پیر حاجات به مقدار کم مشاهده شده است.



شکل ۱۶. تصاویر میکروسکوپ الکترونی (BS) نمونه ۰۵.۱۱۶
A: کانی‌های کوارتز (Qz)، گوتیت (Gth) و گریزوکلا (Ccl)
B: کانی‌های کوولیت (Cv)، گریزوکلا (Ccl)، گوتیت (Cpr)، کوپریت (Cov) و گالن (Gn)
C: کانی‌های کوولیت (Cv)، گوتیت (Gth) و گالن (Gn)
D: کانی‌های کوولیت (Cv)، گوتیت (Gth)، گوتیت (Cv) و تنوریت (Tnr)

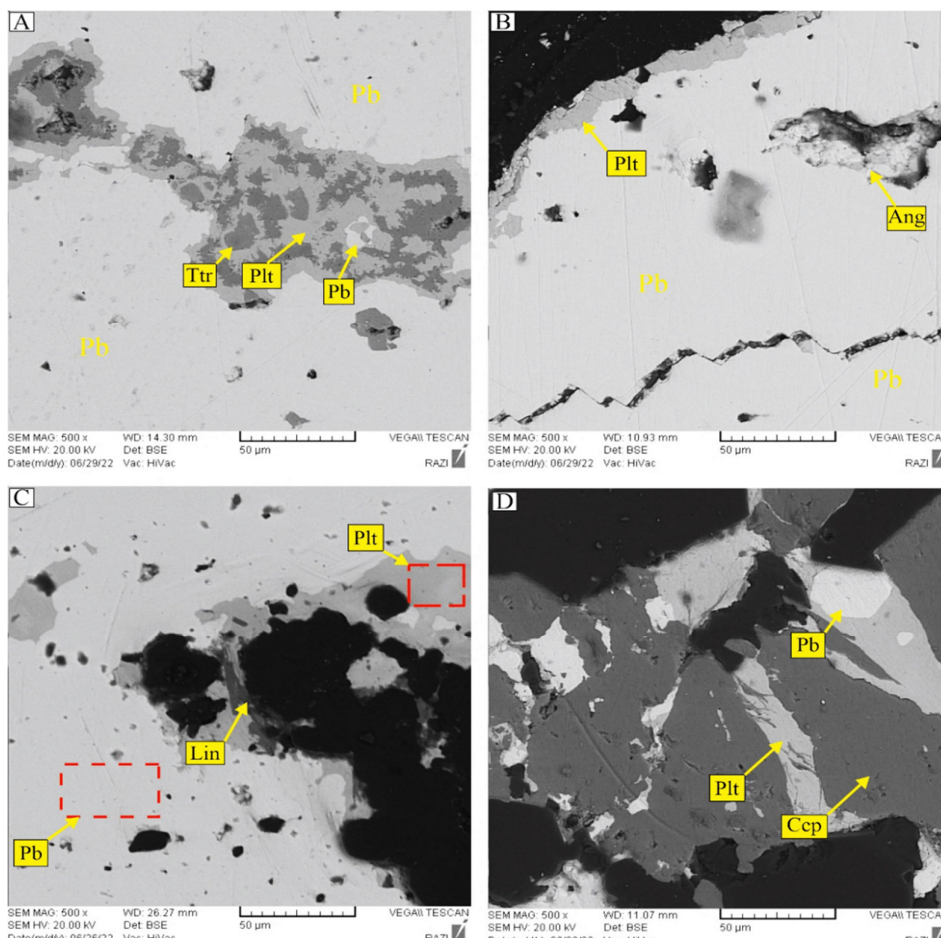
Fig. 16. Back-scattered image (BS) of sample PT.05.116, A: Zone 1 picture, Quartz minerals (Qz), Chrysocolla (Ccl), Goethite (Gth), B: Zone 2 picture, Covellite minerals (Cv), Chrysocolla (Ccl), Cuprite (Cpr), C: picture of Zone 3, Minerals Covellite (Cv), Goethite (Gth), Galena (Gn), D: picture of Zone 4, Minerals Covellite (Cv), Goethite (Gth), Pirhajat deposit. (Mineral abbreviations from Whitney and Evans, 2010)

می‌باشد. این کانی زردرنگ بوده که در سطوح تونل مشاهده شده است. از کانی‌های شبیه به ماسیکوت، کانی

ماسیکوت (لیتارژ): ماسیکوت یک کانی اکسیدی سرب با فرمول تجربی PbO می‌باشد. نام دیگر این کانی لیتارژ

براساس شواهد میدانی، بررسی‌های ژئوشیمیایی و استنتاج فاز اکسیدی غالب از نتایج SEM_EDX مورد تأیید است.

مینیوم می‌باشد که این کانی نیز ممکن است در این کانسار به مقدار کم وجود داشته باشد. وجود کانی ماسیکوت



شکل ۱۷. تصاویر میکروسکوپ الکترونی (BS) از نمونه PT.30.123 Zone 1: A. کانی‌های تترادریت (Ttr) و پلاتنریت (Plt) و سرب طبیعی (Pb) که به صورت زمینه است، Zone 2: B. کانی‌های پلاتنریت (Plt) و آنگلزیت (Ang) و سرب طبیعی (Pb)، Zone 3: C. کانی‌های لیناریت (Lin)، پلاتنریت (Plt) و سرب طبیعی (Pb)، Zone 4: D. کالکوپیریت (Ccp) و سرب طبیعی (Pb)، کانسار پیرحاجات. (حروف اختصاری کانی‌ها از ویتنی و ایوانز، ۲۰۱۰)

Fig. 17. Back scattered image (BS) of sample PT.30.123, A: Zone 1 picture, Tetrahedrit (Ttr) and Plattnerite (Plt) minerals and Native lead (Pb) which is the background, B: Zone 2 picture, Plattnerite minerals (Plt) and Anglesite (Ang) and Native lead (Pb), C: Zone 3 picture, Linarite (Lin), Plattnerite (Plt) and Native lead (Pb) minerals, D: Zone 4 picture, Plattnerite (Plt) minerals, Chalcopyrite (Ccp) and Native lead (Pb), Pirhajat deposit. (Mineral abbreviations from Whitney and Evans, 2010)

عناصر سرب، نقره، مس، آنتیموان دارای غنی‌شدگی بالا و عناصر روی، کادمیم و آرسنیک دارای غنی‌شدگی متوسطی می‌باشد. وجود عناصر سرب، نقره، مس و آنتیموان نشان‌دهنده وجود کانی‌های سولفوسالت می‌باشد. براساس نتایج آنالیز شیمیایی از توده کانسنگی و با در نظر گرفتن عناصر کانسارساز مهم در کانسارهای سرب و روی، نموداری جهت تعیین افق‌های دارای بیشترین کانی‌سازی تهیه شده (شکل ۱۹) که بیشترین کانی‌سازی در تونل‌های

ژئوشیمی

پس از دریافت نتایج تجزیه‌ی شیمیایی (جدول ۳)، مقدار میانگین خطای ۱۰٪ براساس نتایج آنالیز نمونه GSP_2 که نمونه استاندارد سازمان زمین‌شناسی آمریکا می‌باشد، محاسبه شد. با در نظر گرفتن نتایج عناصر کانی‌ساز، افق‌های اصلی کانی‌سازی شده شناسایی شد و با در نظر گرفتن عناصر مهم کانسارهای سرب ضرایب همبستگی برای این کانسار نیز محاسبه شد. بر طبق نتایج جدول ۴

از بررسی نتایج آنالیزهای شیمیایی و نمودار می‌توان نتیجه گرفت که کانی‌سازی در کانسار پیرجاجات دارای منطقه‌بندی و گسترش هم به صورت عمقی و هم به صورت جانبی می‌باشد (معانی جو و همکاران، ۲۰۱۲).

تراز ۱۲۲۶ تا ۱۲۳۰ و ۱۲۳۸ به صورت کانی‌سازی سرب و نقره (Horizon 1, Horizon2) و تراز ۱۲۰۵ (Horizon 3) و در پایین‌ترین تراز (تراز ۱۱۹۵ Horizon 4) نیز کانی‌سازی سرب، نقره و مس رخ داده است.

شکل ۱۸. توالی پارازنتیک در کانسار پیرجاجات.

Fig. 18. Paragenetic sequence in the Pirhajat deposit.

Minerals	Pre-Mineralization	Mineralization Stage		Supergene
		Stage 1	Stage 2	
Ore minerals				
Native Lead				
Galena				
Tetrahedrit				
Sphalerite				
pyrite				
Chalcopyrite				
Cerussite				
Malachite				
Azurite				
Goethite				
Covellite				
Plattnerite				
Linarite				
Anglesite				
Cuprite				
Tenorite				
Gangue mineral				
Quartz				
Calcite				
Dolomite				
Barite				
Textures				
Brecciation				
Open-Space Filling				
Veinlet				
Disseminated				
Replacement				

همبستگی ۰/۵۵۷ ، نقره- مس با ضریب ۰/۲۰۰ ، نقره- آنتیموان با ضریب ۰/۶۷۰ ، مس- آنتیموان با ضریب ۰/۵۶۹ و روی- کادمیم با ضریب همبستگی ۰/۸۹۶ دارای ارتباط معنی‌دار می‌باشند (جدول ۴). با بررسی‌های آماری، بیشترین ضریب همبستگی بین جفت عناصر سرب- نقره، نقره- مس و سرب- مس می‌باشد که به ارتباط ژنتیکی سه عنصر در محلول کانی‌ساز اشاره دارد. همبستگی قوی بین

بررسی همبستگی عناصر کانی‌ساز به منظور بررسی رفتار ژئوشیمیایی عناصر داده‌ها توسط نرم‌افزار SPSS مورد تجزیه و تحلیل قرار گرفت و همچنین برای بررسی همبستگی عناصر از روش پیرسون بهره گرفته شد. بر این اساس زوج عناصر سرب- نقره با ضریب همبستگی ۰/۶۵۳ ، سرب- مس با ضریب ۰/۳۳۲ ، سرب- روی با ضریب ۰/۱۳۰ ، سرب- آنتیموان با ضریب

جفت عناصر نقره- آنتیموان نیز همبستگی قابل توجهی را نشان می‌دهد.

جفت عناصر سرب- نقره دلالت بر حضور نقره در شبکه بلوری گالن دارد و همبستگی قوی بین جفت عناصر نقره- مس و سرب- مس وجود سولفوسالت را نشان می‌دهد.

جدول ۳. نتایج حاصل از تجزیه شیمیایی ICP-OES (بر حسب ppm) بر روی نمونه کانسنگ در کانسار پیر حاجات.

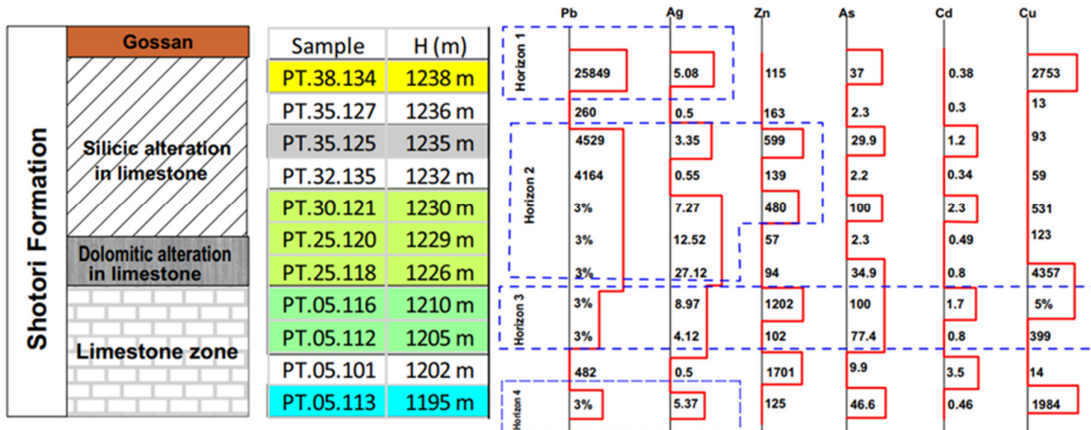
Table 3. Results of chemical analysis by ICP-OES method (in ppm) on ore samples, Pirhajat deposit.

Element	PT. 05.113	PT. 05.101	PT. 05.112	PT-05- 116	PD. 1215	PR. 25.118	PR. 25.120	PT. 30.121	PT. 32.135	PT. 35.125	PT. 35.127	PT- 38.134	PS. 141.139
Ag	5.37	<0.5	4.12	8.97	<0.5	27.12	12.52	7.27	0.55	3.35	<0.5	5.08	<0.5
Al	2849	718	2609	6014	2181	2294	2076	7091	1956	1596	1107	26723	1333
As	46.6	9.9	77.4	>100	2.3	34.9	2.3	>100	2.2	29.9	2.3	37	4
Ba	>1%	48	4746	139	2551	198	33	1742	214	215	219	2623	24
Be	<1	<1	<1	1.6	<1	<1	<1	<1	<1	<1	<1	<1	<1
Ca	3174	>10%	3327	14699	27816	3358	66450	25570	73113	99375	>10%	1255	>10%
Cd	0.46	3.5	0.8	1.7	0.27	0.8	0.49	2.3	0.34	1.2	0.3	0.38	0.25
Ce	2	1	3	4	2	1	3	12	2	3	3	47	2
Co	2.6	<1	<1	4.8	<1	<1	<1	2.7	<1	<1	<1	2.6	<1
Cr	81	15	103	44	59	28	15	39	32	13	6	84	4
Cu	1984	14	399	>5%	103	4357	123	531	59	93	13	2753	34
Fe	9714	3701	7276	64013	7225	9133	4038	19257	4131	3658	1630	23359	1568
K	654	187	384	2527	364	307	590	1119	267	388	410	14089	355
La	1	1	1	2	1	1	2	10	1	2	2	38	2
Li	78	15	38	37	75	72	69	68	66	39	4	99	4
Mg	1637	>2%	2007	8233	14143	1916	>2%	13004	>2%	>2%	>2%	2310	>2%
Mn	72	120	32	26	65	38	59	56	74	91	44	28	35
Mo	35.9	0.57	116	270	0.64	5.5	1.6	224	0.67	19.2	0.58	3.8	0.67
Na	216	383	421	539	272	230	255	252	204	268	206	793	327
Ni	4	4	5	9	2	8	5	6	3	5	3	15	5
P	24	39	52	<10	41	<10	44	104	34	54	45	237	43
Pb	>3%	482	>3%	>3%	721	>3%	>3%	>3%	4164	4529	260	25849	749
S	3685	418	1997	2187	816	7968	9478	941	601	581	346	1040	488
Sb	95.09	9.84	84.59	>0.01%	1.15	>0.01%	21.27	>0.01%	1.02	1.5	0.96	36.87	0.86
Sc	<0.5	<0.5	<0.5	1	<0.5	<0.5	<0.5	1.2	<0.5	0.5	<0.5	3.6	<0.5
Sr	124	69	76	83	48	122	65	436	38	63	46	99	75
Th	<5	<5	<5	<5	<5	<5	<5	<5	<5	<5	<5	<5	<5
Ti	154	26	203	242	86	65	87	469	32	82	48	1728	74
U	<5	<5	<5	<5	<5	<5	<5	<5	<5	<5	<5	<5	<5
V	9	6	11	14	3	3	6	13	3	5	5	44	11
Y	0.5	0.8	0.6	1.1	0.6	<0.5	0.6	1.6	0.6	1.2	0.8	4.7	0.6
Yb	0.2	0.2	0.2	0.4	0.2	<0.2	0.2	0.3	0.2	0.2	0.2	0.9	0.2
Zn	125	1701	102	1202	59	94	57	480	139	599	163	115	1
Zr	6	<5	6	15	<5	<5	<5	14	<5	<5	<5	54	<5

جدول ۴. ضرایب همبستگی عناصر کانه‌ساز به روش Pearson

Table 4. Correlation coefficients of ore-forming elements by Pearson method.

Element	Ag	Pb	Cd	Cu	Zn	Sb
Ag	1					
Pb	0.653	1				
Cd	0.014	0.012	1			
Cu	0.200	0.332	0.204	1		
Zn	0.133	-0.130	0.896	0.457	1	
Sb	0.670	0.577	0.352	0.569	0.229	1



شکل ۱۹. نمودار افق‌های کانی‌سازی (Yousefi و همکاران، ۱۴۰۱).
Fig. 19. Diagram of mineralization horizons (Horizon1, Horizon2, Horizon3, Horizon4) in Pirhajat deposit (Yousefi et al., 2022).

سازند شمشک شده است. کانی ماسیکوت (لیتارژ) در بررسی‌های صحرائی و براساس نتایج آزمایش SEM-EDX شناسایی شده است لذا با توجه به مقادیر اندازه‌گیری شده عناصر اکسیژن و سرب در آنالیز SEM-EDX، ترکیب شیمیایی نزدیک بهم کانی‌های پلاتنریت، ماسیکوت، شواهد صحرائی و فاز اکسیدی غالب در کانی‌سازی، وجود هر سه کانی را در کانسار پیرحاجات تأیید می‌کند (شکل ۲۰). با توجه به کانی‌های اکسیدی فراوان و تشکیل کانی‌ها در محل شکستگی‌ها و درزهای نزدیک به سطح، می‌توان گفت که تشکیل کانسینگ پیرحاجات در ارتباط نزدیک با فرایند بروون‌زاد بوده که حاصل هوازدگی کانسینگ سولفیدی اولیه است. در نتیجه قرارگیری کانسینگ سولفیدی اولیه در شرایط اکسیدان سطحی، به کانسینگ اکسیدی تبدیل می‌شود و کانی‌های اکسیدی تشکیل می‌شود. هوازدگی کانسینگ سولفیدی و تبدیل آن به کانسینگ اکسیدی معمولاً تحت تأثیر آبهای زیرزمینی و هم‌چنین آبهای جوی می‌باشد که وجود گسل‌های متعدد محدوده شرایط و مجرای مناسب برای ورود آبهای سطحی و زیرزمینی را فراهم کرده است. براثر هوازدگی پیریت‌های کانسینگ سولفیدی اولیه، کلاهک آهنی^۱ نیز تشکیل شده است که به عنوان یک راهنمای اکتشافی مناسب برای این تیپ کانسارها در واحدهای دولومیتی ناحیه می‌باشد (شکل ۲۱). کانسار پیرحاجات در مقایسه با کانسار چاه‌سرب دارای کانی‌سازی تقریباً مشابه می‌باشد.

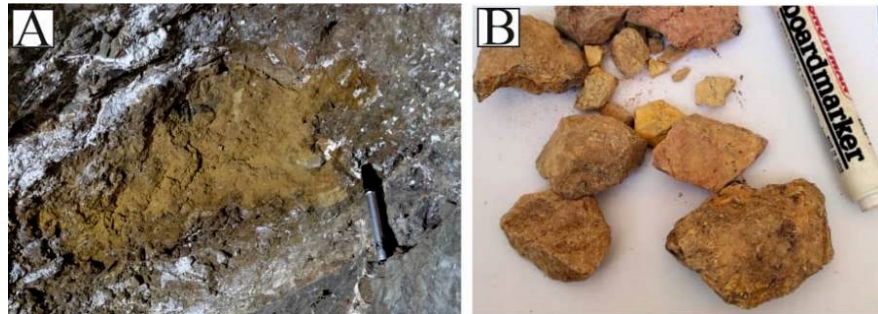
بحث

کانسار پیرحاجات یک کانسار چندفلزی سرب، روی، مس و نقره می‌باشد، که کانی‌زایی آن‌ها در یک پهنه گسلی در مرز دو واحد دولومیتی و دولومیت آهکی شکل گرفته است. مهمترین ماده معدنی در کانسار پیرحاجات که در حال استخراج می‌باشد فلز سرب می‌باشد. با توجه به مقدار بالای سیلیس در نتایج شیمیایی نمونه‌های ماسه‌سنگی، بالا بودن مقدار سیلیس در توده کاستنگی و وجود فلز سرب همراه و در مواردی با میزانی سیلیس، بنظر می‌رسد سرب از ماسه‌سنگ‌ها و ماسه‌سنگ‌های شیلی سازند شمشک مشتق شده باشد. کانی‌سازی در کانسار پیرحاجات به شدت تحت تأثیر فرآیندهای تکتونیکی و گسلی است، به نوعی Fn3، کانی‌سازی در محل تقاطع گسل‌های عرضی (Fn4, Fn5) با گسل اصلی خاوری-باختری (Fm) تشکیل شده است. ضمن این‌که حفر تولن ها در این کانسار در راستای گسل اصلی انجام شده است. با توجه به بافت‌های افشار و دانه‌ریز و پراکندگی رگه-رگچه‌ای در پهنه کانی‌سازی، بیش از دو فاز تکتونیکی در محدوده حاکم بوده است. وجود تکتونیک فعل و گسل‌های محدوده سبب ایجاد مجراهای متعدد برای نفوذ سیالات سطحی و جوی و اختلط آن‌ها با سیالات زیرسطحی شده که به دنبال آن اکسیدی شدن سیال و تهنشست کانه‌ها از سیال در منافذ و شکستگی‌ها می‌شود. یک راندگی کلی به سبب عملکرد گسل فعل کلمرد، باعث رانده شدن سازند شتری بر روی

¹Gossan

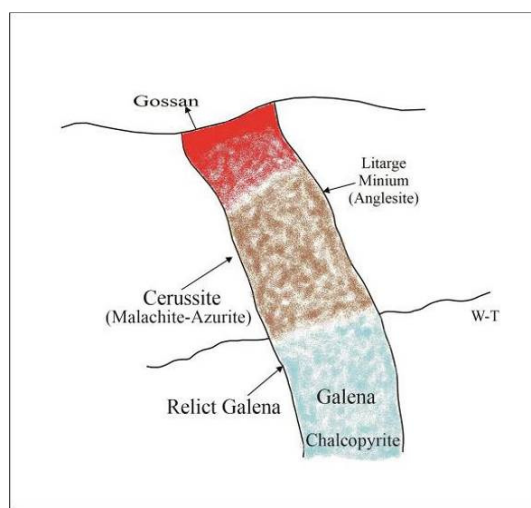
اکسیدی در کانسار پیر حاجات و کانسار چاهسرب می‌توان به عنوان رهیافتی برای وجود ذخایر غیرسولفیدی سرب در کمربند فلزی طبیعی- پشت‌بادام در بخش ازبک‌کوه- عشق‌آباد استفاده کرد.

در کانسار چاهسرب نیز کانی‌های اکسیدی (مانند: پلاتریت، مینیوم) نیز تشکیل شده است که نشان دهنده فعالیت فرآیندهای بروزنزاد در این کانسار می‌باشد. لذا با توجه به فرآیندهای بروزنزاد و تشکیل کانی‌سازی



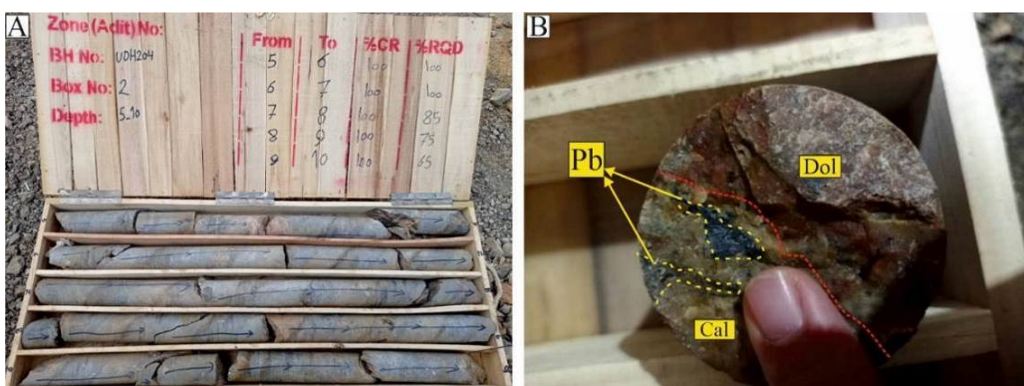
شکل ۲۰. A: رخنمون از کانی‌سازی ماسیکوت (لیتارژ)، B: نمونه دستی کانی ماسیکوت، کانسار پیر حاجات.

Fig. 20. A: Outcrop from Massicot mineralization (Litarge), B: Hand specimen of Massicot mineralization, the Pirhajat deposit.



شکل ۲۱. مدل شماتیک از رخداد فرایند کانی‌سازی بروزنزاد در کانسار پیر حاجات.

Fig. 21. Schematic model of supergene mineralization, Pirhajat deposit.



شکل ۲۲. A: مغزه‌های مربوط به یک جعبه حفاری، B: کانی‌سازی سرب در مغزه‌های حاصل از حفاری، گمانه ۲۰۴. کانسار پیر حاجات، طبس.

Fig. 22. A: Core from a core box, B: Lead mineralization in cores from drilling, borehole UDH204, the Pirhajat deposit, Tabas.

- ۴) نفوذ سیالات گرمای غنی از Si در فضای درزهای شکستگی‌ها.
- ۵) تشکیل رگه‌ها و رگچه‌های سیلیسی و سیلیسی‌شدن سنگ میزبان.
- ۶) نفوذ محلول کانه‌دار (سیالات گرمایی) و واکنش سیالات با آهک و دولومیت و شرایط ترمودینامیکی و به دنبال آن ناپایداری کمپلکس‌های فازی و نهشت کانی‌ها.
- ۷) سپس فعالیت مجدد گسل‌هایی که در آن‌ها کانی‌سازی رخداده و برشی‌شدن کانسار اولیه و اختلاط سنگ‌های باطله با ماده معدنی اولیه.
- ۸) نفوذ سیالات جوی از طریق مجراهای تکتونیکی و گسل‌ها و انحلال ماده معدنی و تشکیل محلول‌های اسیدی (غنی از عنصر سرب) و مهاجرت به سنگ میزبان (آهک و دولومیت).
- ۹) واکنش محلول اسیدی کانه‌دار با آهک و دولومیت و تشکیل کانی‌های ثانویه و اکسیدی و همچنین سرب طبیعی در فضاهای برشی به صورت رگچه‌ها و رگه‌های پراکنده.

تشکر و قدردانی

از تمامی عزیزانی که ما در انجام این پژوهش یاری رسانند، کمال تشکر و قدردانی را داریم. از معاونت پژوهشی دانشگاه بولعلی سینا بابت حمایت مالی سپاسگزاریم.

References

- Asadi, M (2021) Geological map 1:1000, Zarin Kanyab Holding.
- Ghorbani, M (2013) Economic Geology Ore Deposits of Iran, Springer-Verlag, 640 pp.
- Guilbert, J. and Park, Ch (1997) The Geology of Ore deposits, W. H. Freeman and Company Publication, New York, 985 pp.
- Herron, M (1988) Geochemical classification of terrigenous sands and shales from core or log data, Journal of Sedimentary Petrology, 58(5): 820–829.
- He, Y., Wu, T., Huang, Z., Ye, L., Deng, P. and Xiang, Z (2020) Genesis of the Maoping carbonate hosted Pb-Zn deposit, northeastern Yunnan Province, China: evidences from geology and C-O-S-Pb isotopes, Acta Geochimica, doi.org/10.1007/s11631-020-00424-4.
- Jazi, M. A., and Shahabpour, J (2010) Mineralogical, Textural, Structural and Geochemical Aspects of Nakhlak Lead mine, Isfahan, Journal of Economic Geology, 2(3): 131-151.

نتیجه‌گیری

وجود عنصر سرب، نقره، آنتیموان با غنی‌شدن‌گی بالا بر اساس نتایج تجزیه شیمیایی ICP-OES و همبستگی قابل توجه بین این ۳ عنصر مرکز عنصر نقره در کانی تترادریت را تأیید می‌کند. کانی‌های اکسیدی بیانگر کانی‌سازی در فاز اکسیدی به عنوان فاز غالب و همچنین وجود سرب طبیعی این کانسار را از دیگر کانسارهای سرب شناخته شده در ایران، متمایز می‌کند. فاز اکسیدی غالب و وجود خاک سرب اکسیدی نکته‌ای حائز اهمیت به لحاظ استخراج و فرآوری با سهولت بیشتر و سازگار با محیط‌زیست و بدون آلایندگی ناشی از گوگرد کانی‌های سولفیدی می‌باشد که این نکته خود توجیهی از اقتصادی بودن این کانسار می‌باشد. همچنین با توجه به کانی‌سازی اکسیدی در تیپ سوپرژن و مدل ارائه شده، انتظار وجود کانسنگ سولفیدی در عمق دور از ذهن نیست. با استناد به نتایج آنالیز شیمیایی و بررسی شواهد میدانی، وجود منطقه‌بندی در کانی‌سازی هم به صورت عمقی و هم به صورت جانبی مشاهده شد که می‌توان نتیجه گرفت کانی‌سازی دارای گسترش جانبی و عمقی می‌باشد، لذا با در نظر گرفتن این نکته و همچنین عیار بالای سرب وجود نقره دورنمای این کانسار را بسیار امیدبخش می‌کند. با توجه به این که تاکنون برای اثبات این موضوع عملیات و آنالیز خاصی صورت نگرفته، لذا نقطه حفاری مغزه‌گیری UDH204 در متراز ۱۳۰ متری تونل ۱۲۰.۵ در انتهای دومین دستک این تونل با شیب ۵۵ درجه به سمت بالا (نزدیک به سطح) با جهت جنوب خاوری در کمربالای گسل اصلی با امتداد خاوری- باختری با عمق ۳۰ متر حفر شده که پس از شروع حفاری در متراز ۱۴ متری به ضخامت ۳۰ سانتی‌متر کانی‌سازی سرب در مغزه‌ها مشاهده شد که نتیجه امیدبخش این حفاری، نکته ذکر شده در خصوص گسترش جانبی در این کانسار را تأیید می‌کند (شکل ۲۲). به استناد نتایج حاصل از بررسی انجام شده در این پژوهش، مراحل کانی‌سازی در کانسار پیر حاجات به شرح زیر است:

- (۱) گسلش و برشی‌شدن واحد دولومیتی و آهک‌های دولومیتی (سازند شتری).
- (۲) انحلال بخشی از آهک‌های دولومیتی و ایجاد فضای کارستی.
- (۳) تشکیل سیالات گرمایی.

- Yousefi, B., Maanijou, M., Tale Fazel, E. and Balaei Chikan Olia, H (2022) Geology and mineralogy of Pirhajat Pb (Zn-Cu-Ag) deposit (N-W) Tabas. 14th Symposium of Iranian Society of Economic Geology, 296-303. (in Persian).
- Kaboudmehri, N., Kouhestani, H., Mokhtari, M. A. A. and Zohdi, A (2022) Type and genetic model of the Toryan sediment – hosted Pb-Zn occurrence, NW Zanjan. Scientific Quarterly Journal, GEOSCIENCES, 32(1): 103-118. doi.org/10.22071/gsj.2021.263678.1874.
- Maanijou, M., Rasa, I. and Lentz, D (2012) Petrology, Geochemistry, and Stable Isotope Studies of the Chehelkureh Cu-Zn-Pb deposit, Zahedan, Economic Geology, 107 (4): 683–712. doi.org/10.2113/econgeo.107.4.683.
- Maanijou, M., Fazel, E. T., Hayati, S., Mohseni, H. and Vafaei, M (2020) Geology, fluid inclusions, C–O–S–Pb isotopes and genesis of the Ahangaran Pb–Ag (Zn) deposit, Malayer-Esfahan Metallogenic Province, western Iran, Journal of Asian Earth Sciences, 195: 104339. doi.org/10.1016/j.jseas.2020.104339.
- Ahmadi, R. and Afzali, N (2019) Inversion of geophysical data and potential mapping of Robat-Arregijeh Pb-Zn deposit, Khomein, Markazi province, using integration of exploratory information in GIS, Two Quarterly Journals of New Findings in Applied Geology, 25 (13): 17-32. (in Persian). doi.org/10.22084/nfag.2018.16097.1304
- Roser, B. and Korsch, R (1988) Provenance signatures of sandstone- mudstone suites determined using discriminant function analysis of major element data, Chemical Geology, 67(1–2): 119–139.
- Rutner, A., Saeidi, A., Nabavi, M. H. and Hajain, J (1991) Geological Quadrangle of Eshgh-Abad 1:250000, Geological Survey and Mineral exploration of Iran, Series N. 7358.
- Rutner, Nabavi, M. H. and Hajian, J (1994) Geological Sheet of Shirgesht 1:100000, Geological Survey and Mineral exploration of Iran, Series N. 16.
- Sabahi, F., Lotfi, M., Afzal, P. and Nezafati, N (2021) Mineralization, fluid inclusion and sulfur stable isotope studies in the Gardane-Shir Pb-Zn deposit, Ardestan, Isfahan province, Scientific Quarterly Journal, GEOSCIENCES, 31(1): 177-186. doi.org/10.22071/gsj.2018.115540.1377.
- Soltani, S., Karimpour, M. H., Hommam, M. and Heydarian Shahri, M. R (2016) Mineralogical, textural, structural and geochemical aspects of the Chahsorb Lead mine, Tabas, 24 (2): 231-242 (in Persian).
- Stocklin, J (1968) Structural history and tectonics of Iran. a review, American Association of Petroleum Geologists Bulletin, 52(7): 1229-1258.
- Whitney, D. L. and Evans, B. W (2010) Abbreviations for names of rock-forming minerals, American Mineralogist, 95: 185-187. doi.org/10.2138/am.2010.3371.

Mineralization studies using electron microscope and determination of minor minerals in multi-metallic deposit (lead-copper-zinc-silver) Pirhajat, north west of Tabas

B. Yousefi¹, M. Maanijou^{2*}, E. Tale Fazel³ and M. Asadi⁴

1- M. Sc., student. Dept., of Geology, Faculty of Science, Bu Ali Sina University, Hamadan, Iran

2-Prof., Dept., of Geology, Faculty of Science, Bu Ali Sina University, Hamadan, Iran

3- Assist. Prof., Dept., of Geology, Faculty of Science, Bu Ali Sina University, Hamadan, Iran

4- M. Sc., (graduated), Dept., of Geology, Faculty of Sciences, Birjand University, South Khorasan, Iran

* mohammad@basu.ac.ir

Received: 2023/3/28 Accepted: 2023/6/27

Abstract

The Pirhajat deposit is 5 km northeast of Pirhajat, 120 km northwest of Tabas in the Pirhajat mountain range. This deposit is in the Central Iranian subcontinent and the Tabas-Poshtbadam metallogenical province in Uzbakkoh-Eshghabad section. The geological units of the region include two carbonate rock units (dolostone and dolomitic limestone) belonging to the Middle Triassic Shotori Formation and the sandstone of the Lower Jurassic Shemshak Formation. On the basis of K_2O/Na_2O versus SiO_2/Al_2O_3 diagram, the sandstone unit with litharenite lithology is plotted in the passive continental margin area. The mineralization in this deposit is strongly controlled by tectonic processes in which the main fault named FM is the most important, with an east-west strike-slip extension and a slope of 70-80 degrees to the south. The mineralization occurred in two hypogene stages including native lead, galena, pyrite, tetrahedrite, chalcopyrite, and sphalerite, and a supergene stage includes lead oxide minerals (plattnerite, massicot-minium), linarite, anglesite, cuprite, malachite, azurite, chrysocolla, covellite, tenorite, goethite, cerusite and gangue minerals consist of barite, quartz, calcite and dolomite. The main mineable metal that can be extracted in this deposit is lead as native lead, plattnerite (lead oxide) and to a lesser extent lead sulfide (galena). On the basis of the results of ICP-OES analysis (13 samples), lead has an average grade of 3% and the maximum silver in this deposit is 27 ppm, which shows the relatively high grade of lead and the presence of silver, that show a promising economic outlook. Also, zinc has an average grade of 372 ppm (in 13 samples). Copper also has a grade of more than 5% in some samples. On the basis of these studies and analyses, the dominant mineralization phase in this deposit is the oxide phase, which is important to know for processing, as well as the existence of zoning in mineralization (formation of copper-bearing minerals at the lowest level, then lead-bearing minerals and to the surface the barite mineral) in depth and laterally. Extending of mineralization in depth and margins will be significant.

Keywords: Native lead, Lead oxide, Zoning, Polymetal, Pirhajat, Tabas block, Central Iran zone

Introduction

The Pirhajat deposit is 5 km northeast of Pirhajat, 120 km northwest of the Tabas city at $56^{\circ}31'26''E$ longitude and $34^{\circ}13'08''N$ latitude in the Pirhajat mountain range in the Central Iran zone and in the Tabas-Pushtbadam metallogenical belt. The most important mines and occurrences of lead and zinc in this region include Kohmari, Ushk, Gardo, Uzbakkuh, Shore, Qale, Raqqe, Sibzar, Qochkuhi, Pirhajat (Kalar), Chahsorb, Talkhab, Deq Sarajiv Pushtkale, Gushkamar, Nignan, Bidu, Koiro, Qavastu, Govehsiah (Qarshir Ali) and Kuhsiah (Khormayu). The geology of the mining area

includes the Middle Triassic Shotori Formation (TR_{sh}^d) and the Early Jurassic Shemshak Formation (Js). The most recently identified units include alluvial sediments (Q^{ta}), alluviums and fluvial terrace of the present era (Q^{al}) (Figure 3). The Shotori Formation includes yellowish dolostones, and the upper part includes the Spehak limestone member. The Shemshak Formation in the area includes highly weathered sandstones and siltstones that are associated with coal layers in some places. The Pirhajat mine is an underground mine consisting of 4 main tunnels at 1205, 1225, 1232 and 1238 m elevations above sea level,

that was extracted by Russian miners about 70 years ago (about 1945-1950). The main mineralization in this deposit is native lead, lead oxides and galena. This area in 2013 was subjected to detailed exploration by the Rasam Mining Company. So far, there is no information about the Pirhajat deposit in geologic literature, so the objective of this research is to investigate the mineralization, paragenetic sequence and lithogeochemistry of the deposit.

Research methodology

Several field visits and surveys were done to identify lithology units in the area. Forty samples from different levels were collected in the tunnels of the Pirhajat deposit, among them 19 thin sections, 15 thin-polished sections, and 5 polished sections were made. Mineralogical and petrological studies of thin and thin-polished sections were done in the geological laboratory of the Payamnoor University of Isfahan using an Olympus microscope model BX41. Two samples were studied for mineral chemistry in the Razi Karaj Metallurgical Research Center by SEM-EDX analysis, which were examined by VEGA/TESCAN scanning electron microscope with 20 kv voltage. Sixteen samples of ore were analyzed in the Zarazma laboratory in Tehran by ICP-OES method. Preparation method for 13 powdered ore samples was four acid digestions and for that of 3 powdered sandstone samples was lithium metaborate fusion.

Result

Ore minerals identified in the Pirhajat deposit include native lead, galena, anglesite, plattnerite, massicot, linarite, tetrahedrite, sphalerite, chalcopyrite, goethite, tenorite, cuprite, cerussite, barite, malachite, azurite, chrysocolla. Silver is present in the crystal network of galena along with sulfosalt minerals such as tetrahedrite. Small amount of gold also occurred associated with chalcopyrite. One important point in this deposit is the presence of lead oxide mineralization as well as native lead. The area has been affected by tectonic processes and so the mineralization has occurred in many places at the intersection of accessory faults with the main fault. On the basis of the field surveys, mineralization in this deposit has a zoning that indicates the continuation of mineralization laterally and in depth. Drilling of the UDH204 borehole

(Figure 16) and the observation of mineralization in the cores confirms this. Based on the results of chemical analysis, the average grade of lead is 3%, and copper has a grade of more than 5%; the average grade of zinc is 372 ppm, and the highest grade of silver is 27 ppm (Table 4). According to the results of the analysis of the main oxides of the sandstone samples of the Shemshak Formation and on the basis of the diagram of K_2O/Na_2O versus SiO_2/Al_2O_3 , this sandstone unit is placed in the passive margin, and also on the basis of the diagram of $\log(Fe_2O_3 + K_2O)$ versus $\log(SiO_2 + Al_2O_3)$ they are plotted in the litharenite area.

Discussion

If the elemental contents in different parts are considered, the main mineralized horizons were identified (Figure 15) and on the basis of the important elements of lead deposits, correlation coefficients were also calculated for this deposit (Table 5). Lead, silver, copper, and antimony elements have high enrichments and zinc, cadmium, and arsenic have medium enrichments (Table 4). The presence of lead, silver, copper and antimony indicate the presence of sulfosalt mineral (tetrahedrite). On the basis of statistical analysis, the highest correlation coefficient is between the pairs of lead-silver, silver-copper and lead-copper, which indicate the genetic relationship of these three elements in the mineralizing fluids. The strong correlation between lead-silver elements indicates the presence of silver in the crystal lattice of galena, and the strong correlation between the pairs of silver-copper and lead-copper elements indicate the presence of sulfosalt. The pair of silver-antimony also shows a significant correlation. Very active tectonic movements have created numerous conduits for the penetration of surface and atmospheric fluids and their mixing with subsurface fluids, which is followed by the oxidation of the fluid and the forming of minerals from the fluid in the pores and fractures.

Conclusion

One of the most important achievements of this research is the identification of native lead and the identification of the dominant oxide phase in mineralization in this deposit. The presence of natural lead in the Pirhajat deposit is the distinguishing feature of this deposit from

other lead deposits, as well as the Chah Sorb deposit and the Talkhab deposit near the Pirhajat deposit.

Mineralization in the Pirhahajat deposit was strongly influenced by tectonic and faulting processes and included hypogene minerals that occurred during two stages and then supergene mineralization.

Acknowledgments

We are grateful to all those who helped us in this research. We are grateful to the research department of the Bu-Ali Sina University, Hamedan, for the financial support of this research.